

# Prismatický účinek Bifokální a progresivní čočky



# Prizmatický účinek

změna směru paprsku při průchodu optickým klínem

deviace paprsku:

$$\delta \approx (n - 1)\omega$$

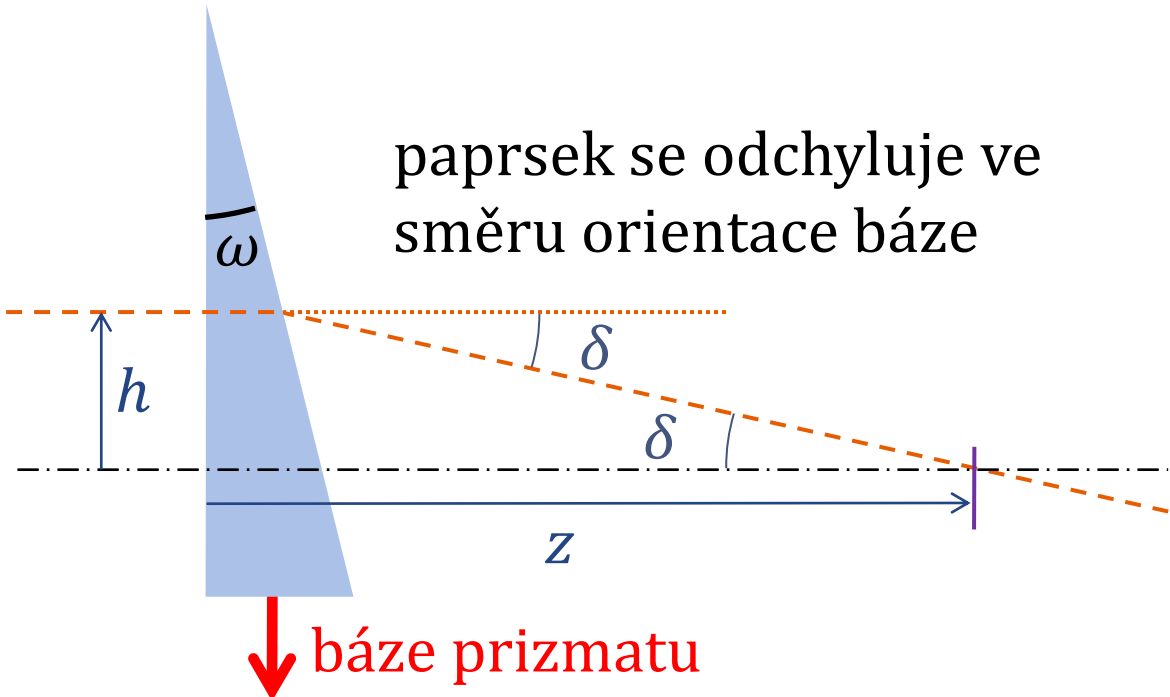
↑  
lámový úhel klínu

velikost prizmatického účinku:

$$\boxed{\Delta(\text{pD}) = \frac{h(\text{cm})}{z(\text{m})}} = 100 \frac{h(\text{m})}{z(\text{m})} = 100 \operatorname{tg} \delta \quad \delta(\text{rad}) \approx \frac{\Delta(\text{pD})}{100}$$

↑  
prizmatická dioptrie

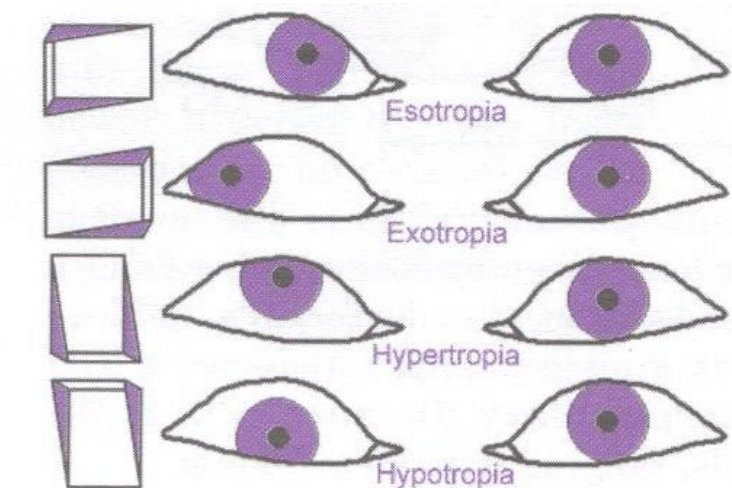
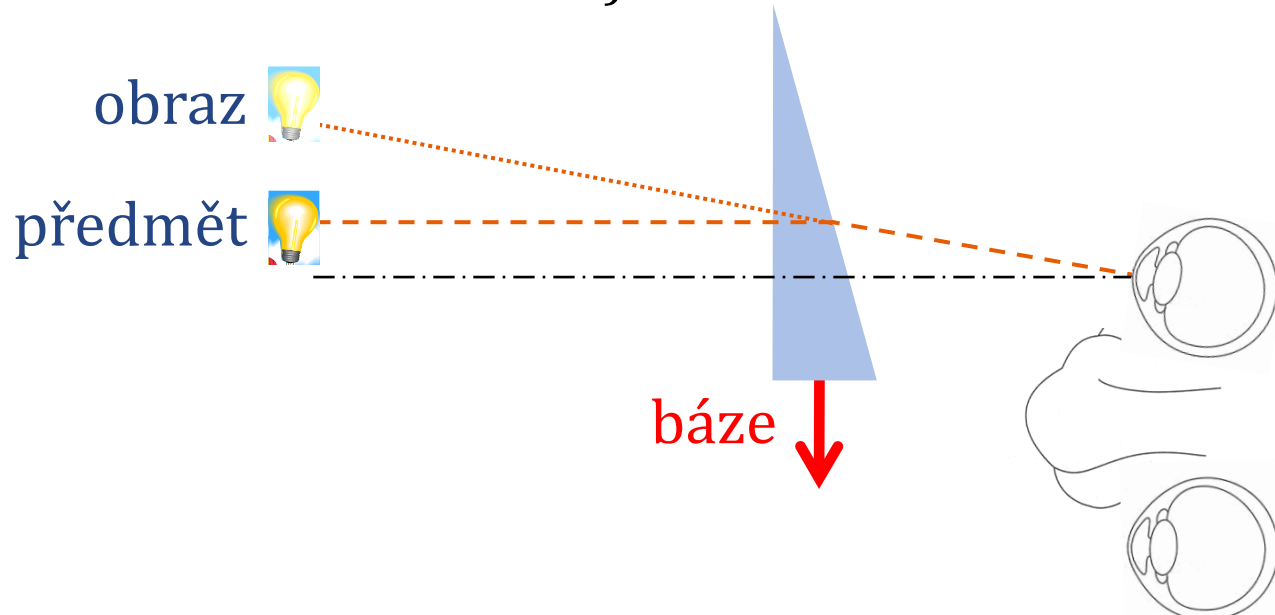
↑ prizmatický účinek 1 pD odpovídá odchylce paprsku 1 cm na vzdálenosti 1 m



paprsek se odchyluje ve směru orientace báze

# Prizmatický účinek – orientace báze

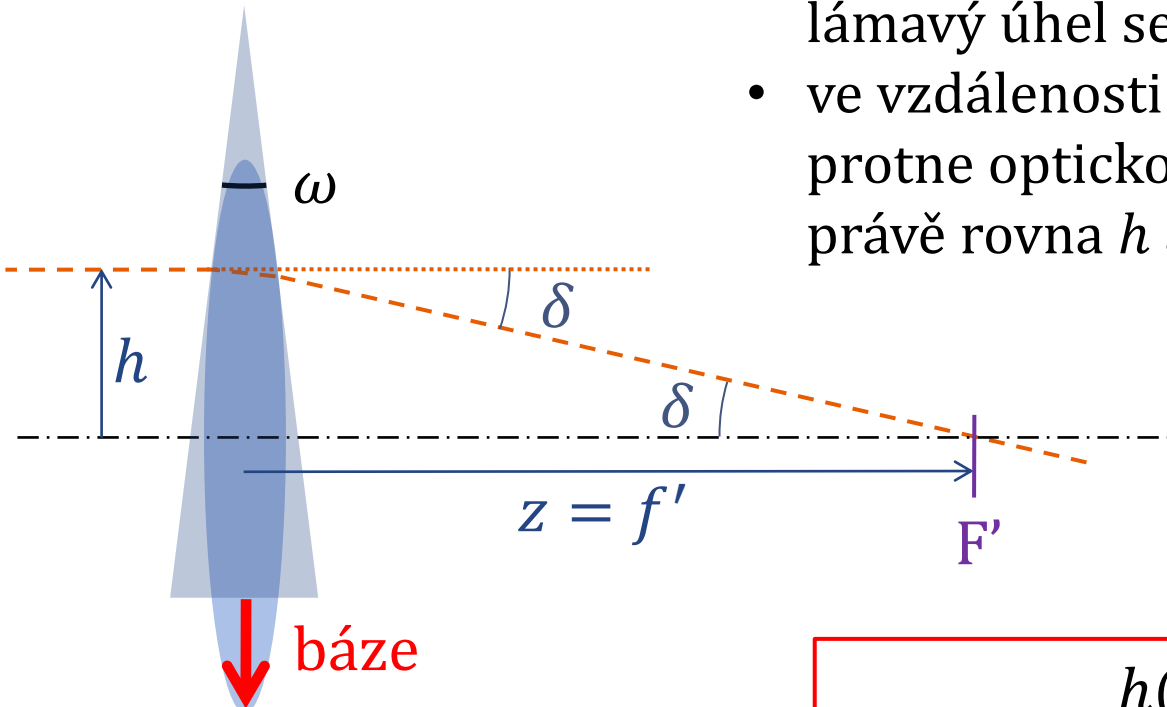
- při pohledu přes prizma je obraz posunut směrem **od báze prizmatu**
- toho se využívá pro odstranění obtíží spojených s **heteroforiemi** (odstranění astenopických obtíží) a **strabismem** (překonání diplopie, získání jednoduchého binokulárního vidění)



orientace báze korekčních prizmat vzhledem k oku se udává směrem: **dovnitř – ven / nasálně – temporálně, nahoru – dolů**, nebo pomocí TABO schématu

# Prizmatický účinek čočky

- účinek čočky lze v místě průchodu paprsku nahradit účinkem vhodného prizmatu (podle obrázku), jehož lámavý úhel se mění podle dopadové výšky paprsku  $h$
- ve vzdálenosti  $f'$  paprsek s dopadovou výškou  $h$  protne optickou osu, tedy jeho stranová odchylka je právě rovna  $h$  a platí:



$$\Delta(pD) = \frac{h(\text{cm})}{f'(\text{m})} = \frac{1}{10} h(\text{mm}) \varphi'(D)$$

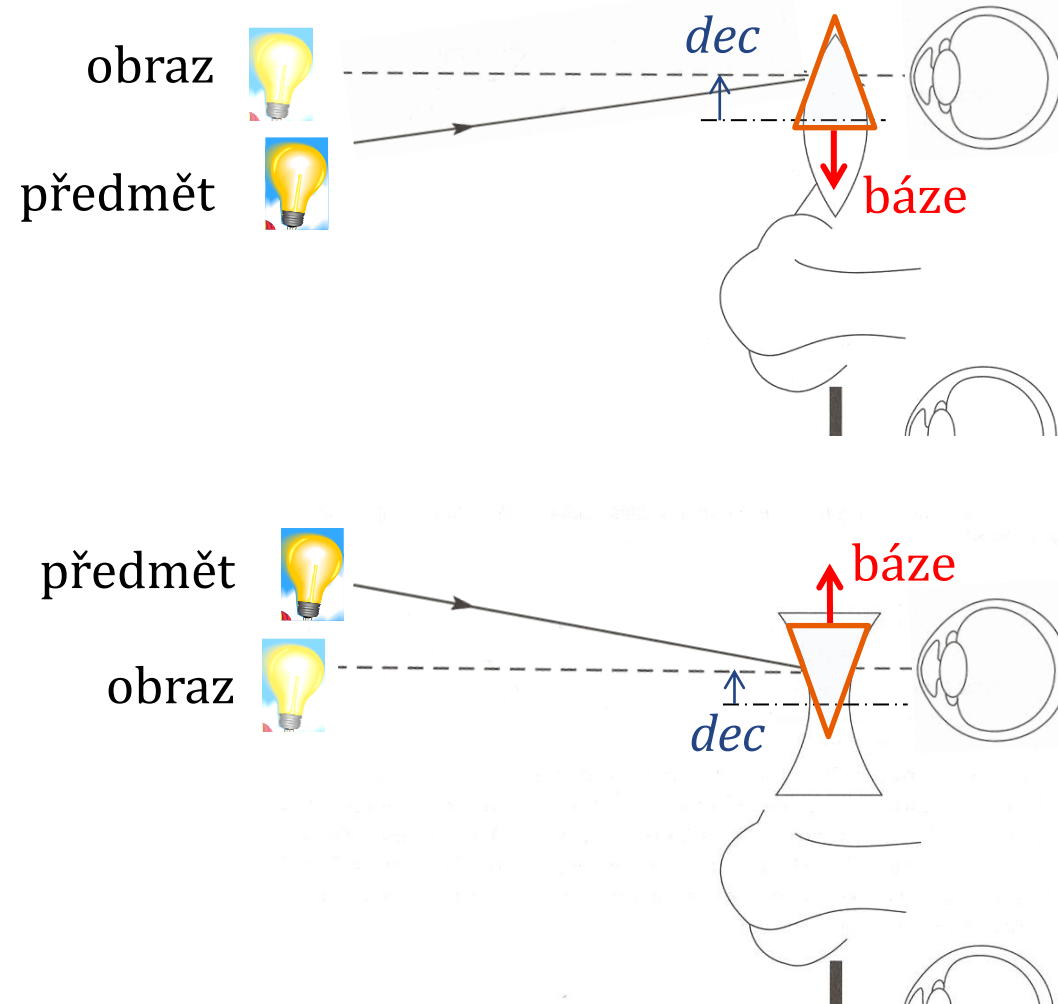
# Prizmatický účinek decentrované čočky

Paprsek vstupující do oka má výšku (vůči optické ose korekční čočky) shodnou s decentrací *dec* čočky.

Pro tuto výšku má decentrovaná čočka prizmatický účinek (Prenticeho pravidlo):

$$\Delta(pD) = \frac{1}{10} dec(\text{mm}) \varphi'(D)$$

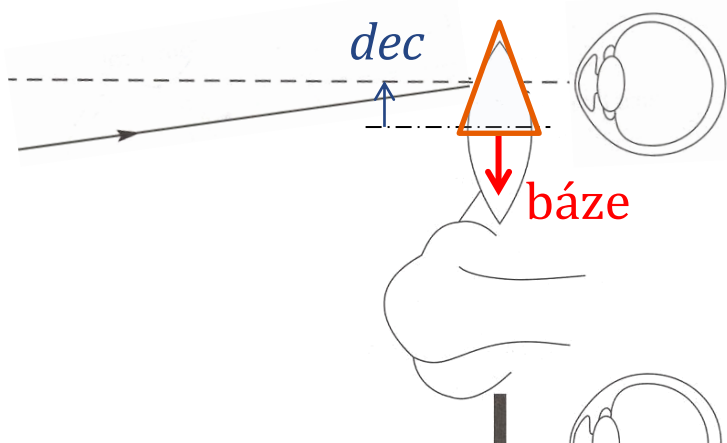
(Prentice's rule, Charles F. Prentice)



# Cvičení

Klientova pravá brýlová čočka je decentrována tak, že se klient dívá přes bod vychýlený o 2,0 mm temporálně vzhledem k optické ose čočky, jejíž vrcholová lámavost je +6,0 D.

Jaký nastává prismatický účinek (určete velikost a směr báze)? O jakou vzdálenost a v jakém směru je odchýlen obraz předmětu ležícího ve vzdálenosti 4 m před okem?  
Jak by tomu bylo v případě rozptylky?



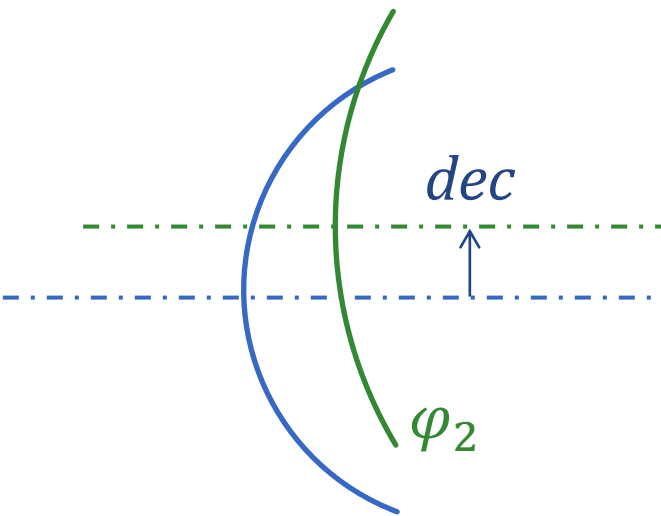
$$\Delta(\text{pD}) = \frac{1}{10} dec(\text{mm})\varphi'(D)$$

$$\Delta(\text{pD}) = \frac{h(\text{cm})}{z(\text{m})}$$

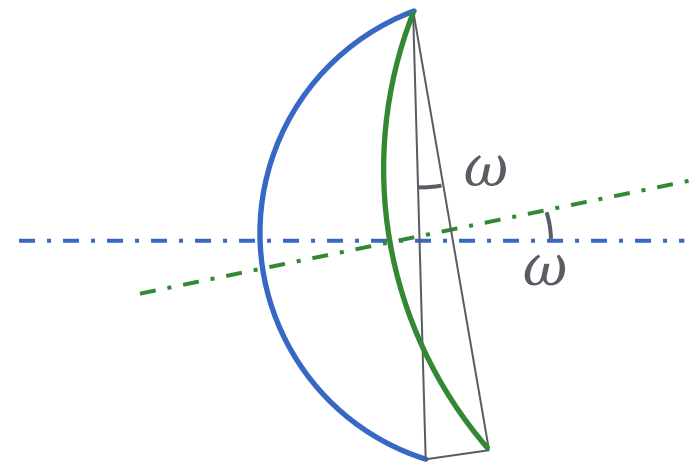
# Prizmatický účinek decentrované čočky

Nestačí-li prizmatický účinek dosažitelný decentrací celé čočky, decentruje se pouze první nebo druhá plocha.

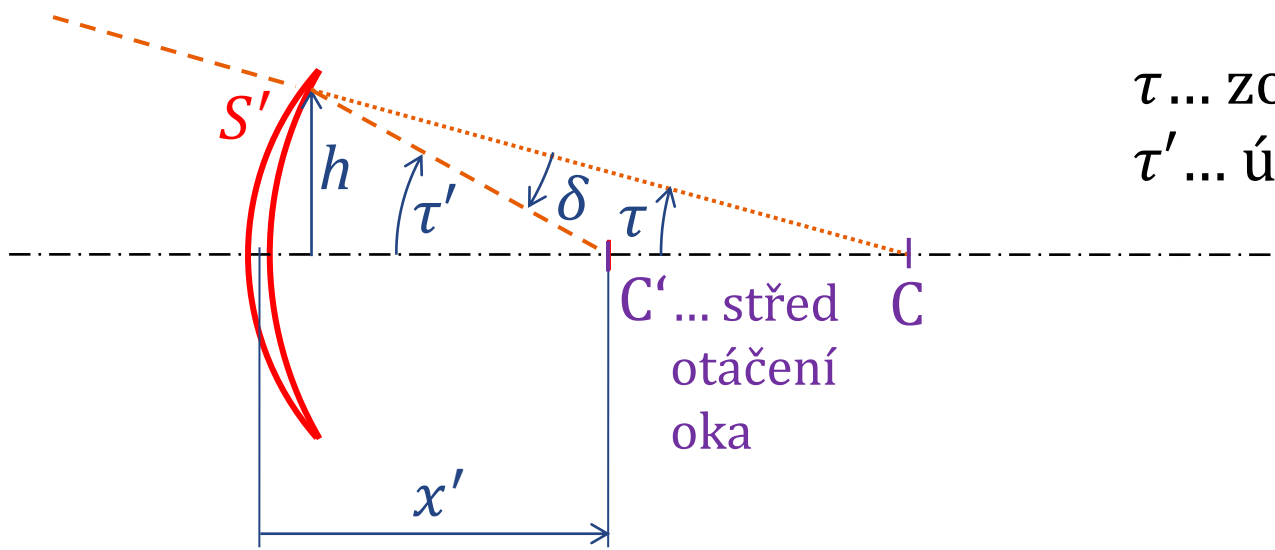
Tím vzniká **prismatická čočka**, jejíž prizmatický účinek je dán úhlem os prvej a druhej plochy.



$$\begin{aligned}\Delta(pD) &= \frac{dec(\text{mm})}{10} |\varphi_2| \\ &= 100 dec(\text{m}) \frac{n-1}{r_2(\text{m})} \\ &= 100(n-1) \frac{dec(\text{m})}{r_2(\text{m})} \\ &\approx 100(n-1)\omega \\ &\approx 100 \operatorname{tg} \delta\end{aligned}$$



# Prizmatický účinek a zorné pole



$\tau$  ... zorný úhel  
 $\tau'$  ... úhel otočení oka

Prenticeho pravidlo [rad, pD, m, D]:

$$\delta \approx \frac{\Delta}{100} \approx hS' \approx x'\tau'S'$$

geometrie [rad]:

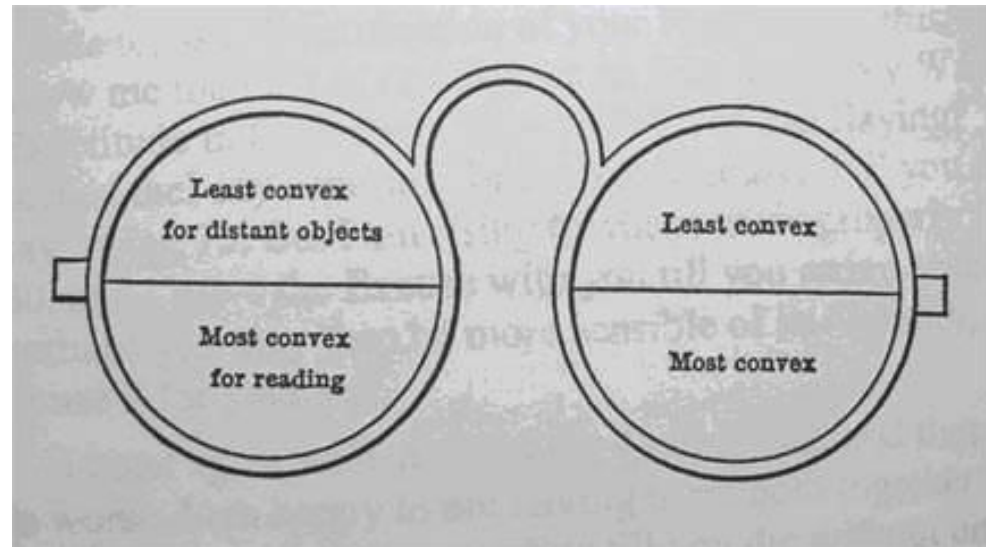
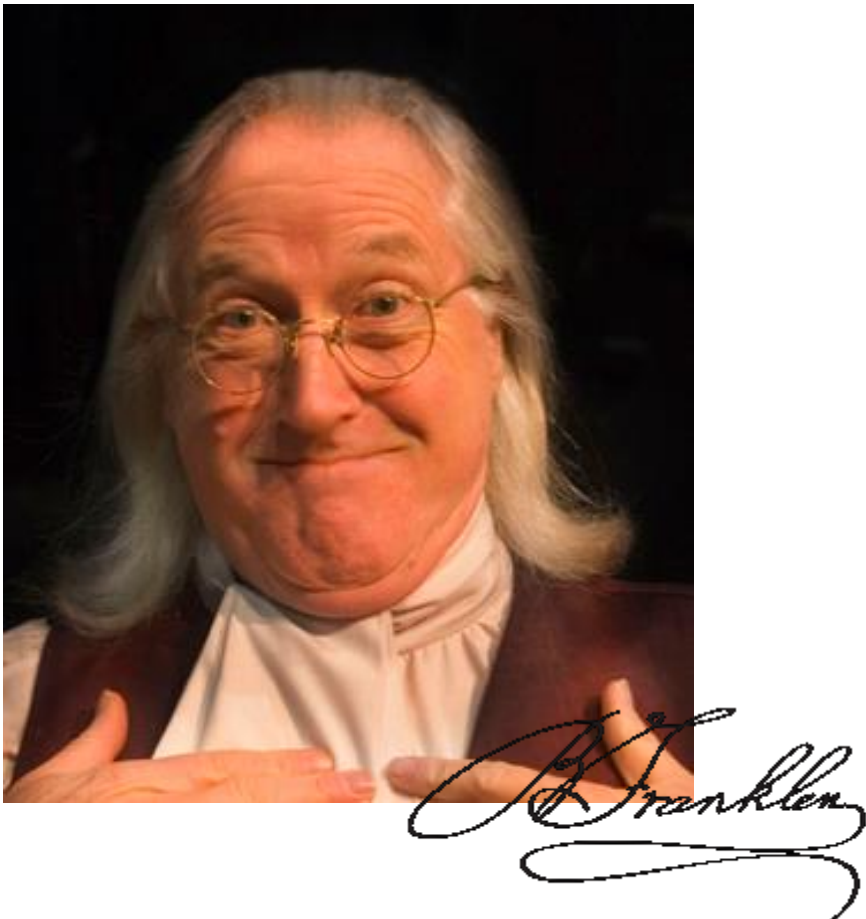
$$\tau = \tau' - \delta$$

$$\Rightarrow \frac{\tau}{\tau'} \approx 1 - x'S'$$

$x' > 0$ , tedy pro spojku je zorný úhel menší než příslušný úhel otočení oka, pro rozptylku větší. Rozptylka tedy poskytuje větší zorné pole, než spojka stejných příčných rozměrů.

# Vynález bifokálních čoček

Benjamin Franklin

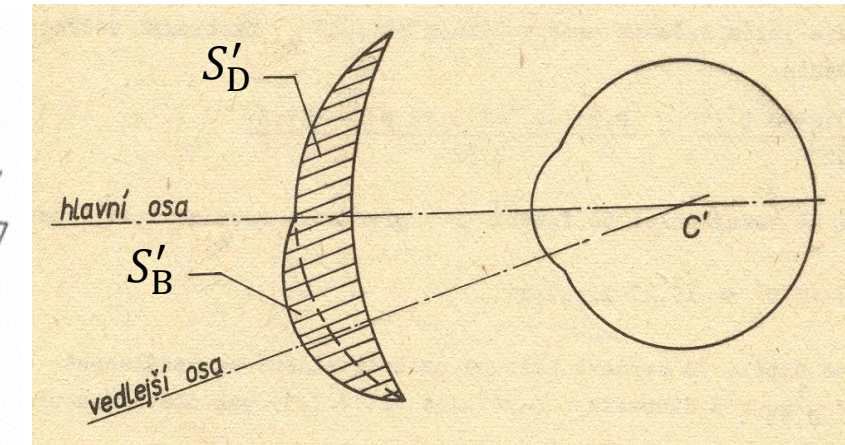
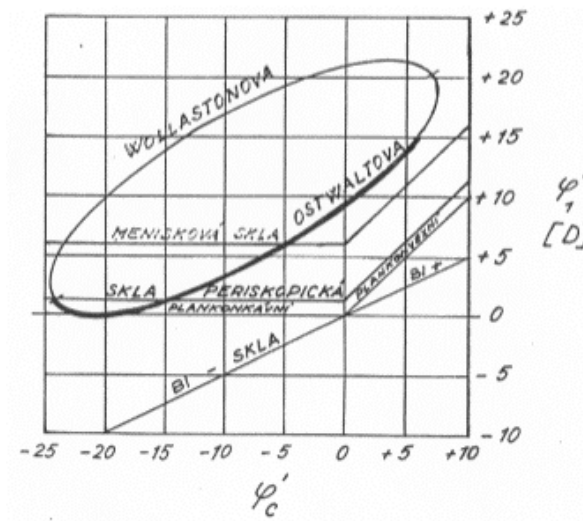
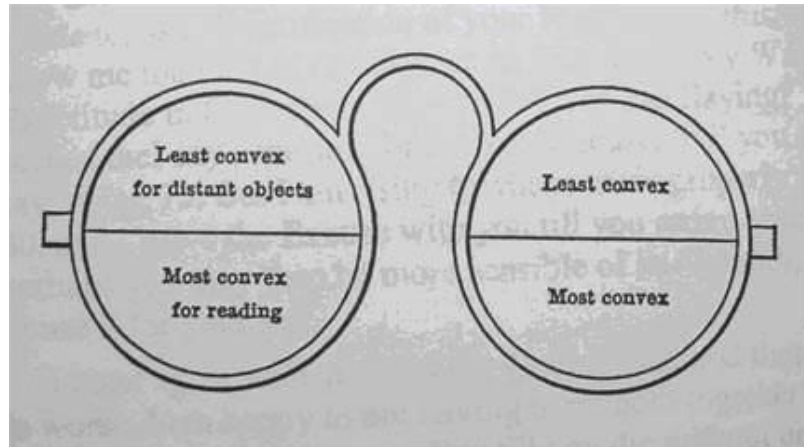


nákres z dopisu – knihovna kongresu

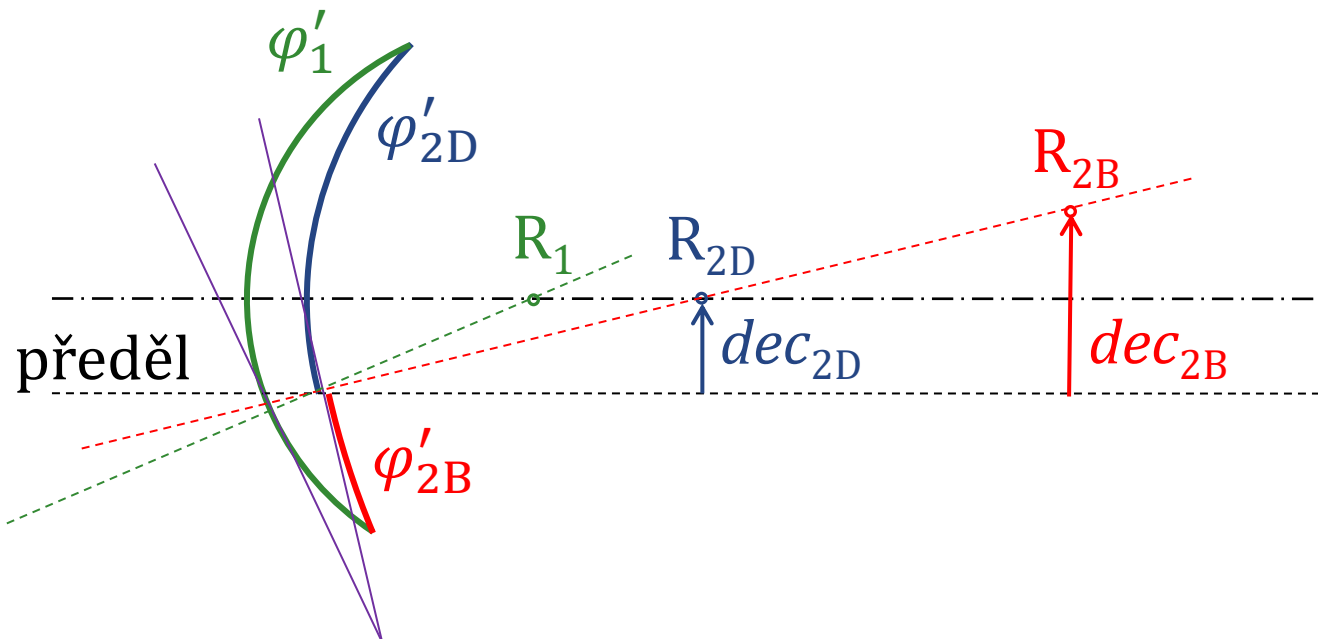


# Požadavky na bifokální čočky

- řádné centrování obou dílů vůči oku (optické osy procházejí skutečným středem otáčení oka)
- korekce periferních vad (astigmatismus, sklenutí) obou dílů
- odstranění „skoku obrazu“ na předělu (shodný prizmatický účinek na předělu co do hodnoty i orientace báze)
- vhodné provedení z hygienického a estetického hlediska (pokud možno bez vroubků na předělu)



# Skok obrazu u vybrušované bifokální čočky



Geometricky:

$$dec_{2D} \frac{1-n}{r_{2D}} = dec_{2B} \frac{1-n}{r_{2B}} \Leftrightarrow \frac{dec_{2D}}{r_{2D}} = \frac{dec_{2B}}{r_{2B}}$$

Prizmatický účinek v těsné blízkosti předělu:

$$\Delta_D = dec_1 \varphi'_1 + dec_{2D} \varphi'_{2D}$$

$$\Delta_B = dec_1 \varphi'_1 + dec_{2B} \varphi'_{2B}$$

Bez skoku obrazu pokud:

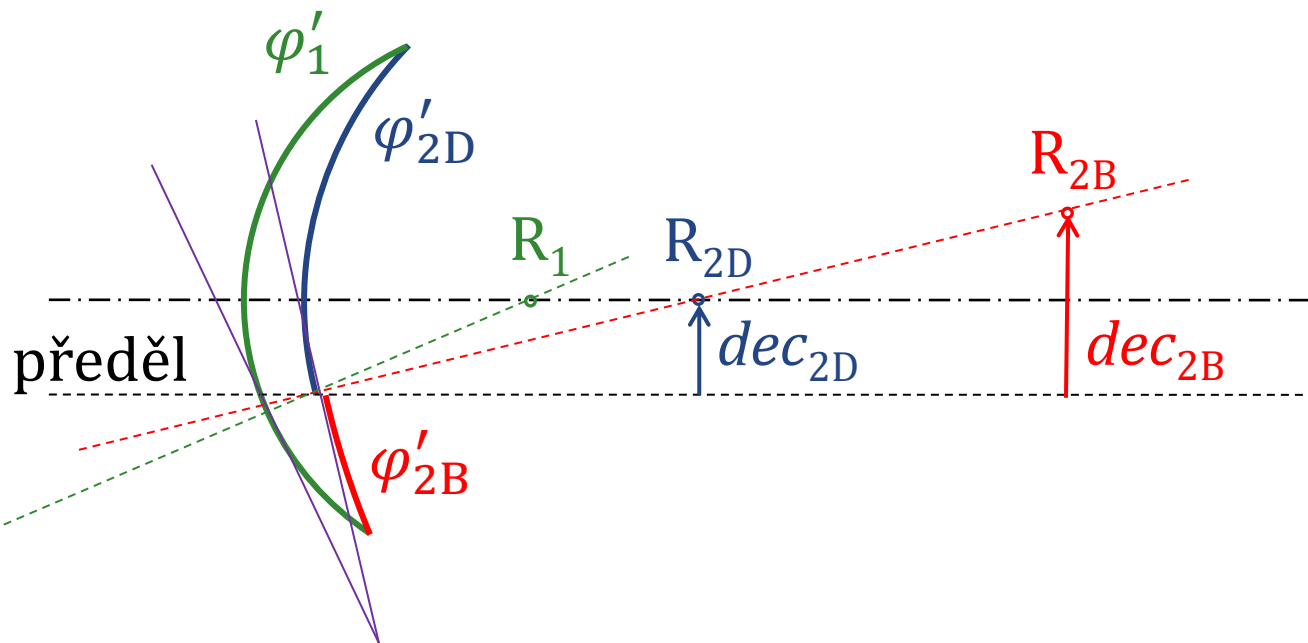
$$\Delta_D = \Delta_B \Leftrightarrow$$

$$dec_{2D} \varphi'_{2D} = dec_{2B} \varphi'_{2B}$$

# Cvičení

Bifokální brýlová čočka má vrcholovou lámavost dílu do délky  $S'_D = +5$  D, mohutnost zadní plochy dílu do délky  $\varphi'_{2D} = -6$  D a přídavek do blízka  $Add = 3$  D. Vrcholová tloušťka dílu do délky je  $d_D = 6$  mm, do blízka  $d_B = 7$  mm. Střed křivosti zadní plochy dílu do délky je vychýlen vůči předělu o vzdálenost  $dec_{2D} = 2$  mm.

Vypočtěte poloměry křivosti ploch  $r_1, r_{2D}, r_{2B}$ . Dále určete potřebné vychýlení středu křivosti zadní plochy dílu do blízka  $dec_{2B}$  vůči předělu, aby nenastával skok obrazu na předělu.



$$S'_{B,D} = \frac{\varphi'_1}{1 - \delta\varphi'_1} + \varphi'_{2B,D}$$

$$dec_{2D}\varphi'_{2D} = dec_{2B}\varphi'_{2B}$$

# Zatavované bifokální čočky

Aproximace tenkých čoček:

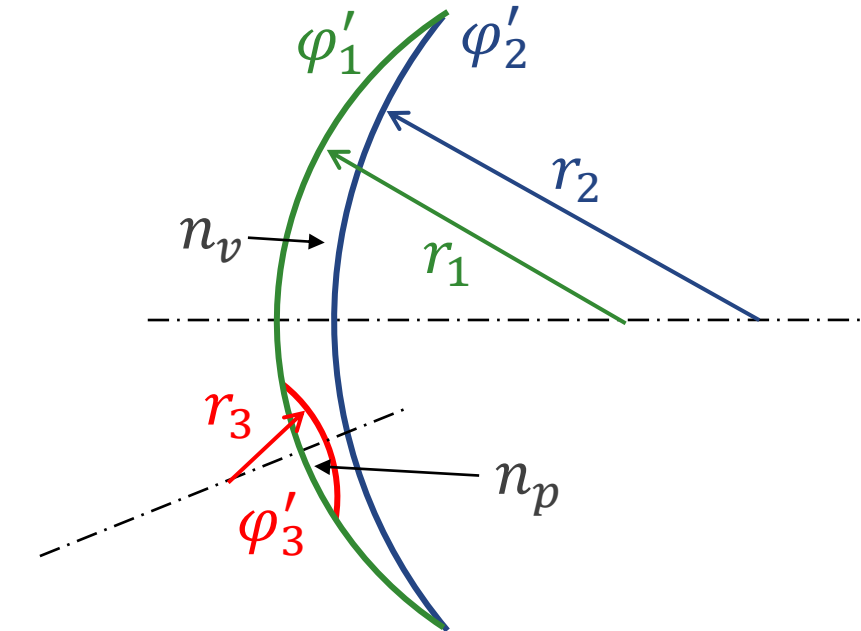
$$Add = \varphi'_{cp} - \varphi'_{cv}$$

$$\varphi'_{cv} = \varphi'_{1v} = \frac{n_v - 1}{r_1}$$

$$\varphi'_{cp} \approx \varphi'_{1p} + \varphi'_{3p} = \frac{n_p - 1}{r_1} + \frac{n_v - n_p}{r_3}$$

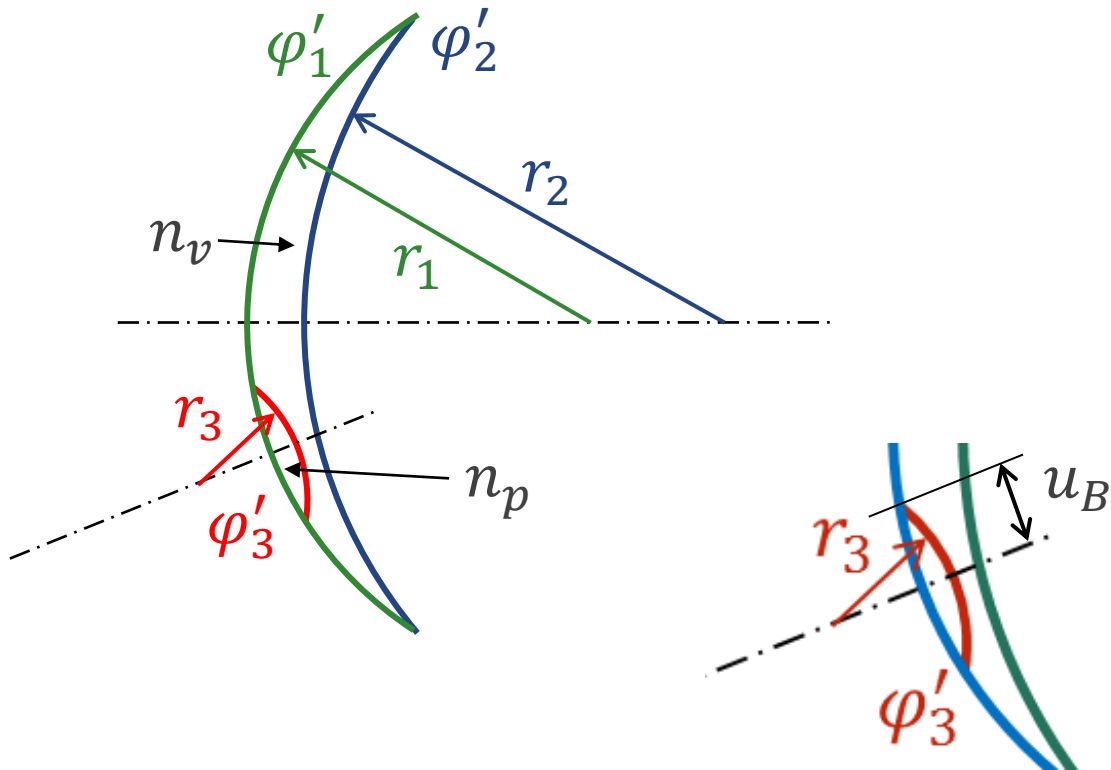
$$Add = (n_p - n_v) \left( \frac{1}{r_1} - \frac{1}{r_3} \right)$$

$$n_p = n_v + Add \frac{r_1 r_3}{r_3 - r_1}$$



$$r_3 = \frac{n_v - n_p}{Add - \frac{n_p - n_v}{r_1}}$$

# Zatavované bifokální čočky – skok obrazu



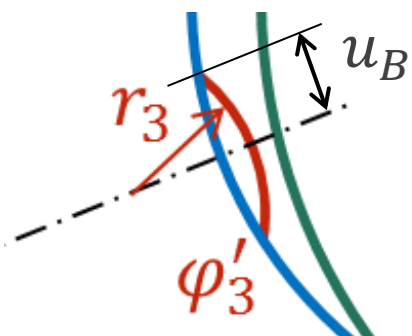
K původní čočce jako by byla přidána nová čočka s mohutností  $Add$ , jejíž prismatický účinek na předělu vytváří skok obrazu.  
Předěl je vůči ose přidané čočky vychýlen o vzdálenost  $u_B$ .  
Prismatický účinek na předělu má tedy velikost (Prenticeho pravidlo):

$$\Delta(\text{pD}) = \frac{1}{10} u_B (\text{mm}) Add(\text{D})$$

# Cvičení

Bifokální brýlová čočka se zataveným dílem do blízka má mít přídavek do blízka  $Add = 3$  D. Poloměr křivosti přední plochy je  $r_1 = 86,7$  mm, poloměr křivosti vybroušeného vrchlíku  $r_3 = -70,9$  mm a index lomu materiálu původní čočky  $n_v = 1,523$ .

Určete potřebný index lomu  $n_p$  vložky.



$$n_p = n_v + Add \frac{r_1 r_3}{r_3 - r_1}$$

$$\Delta(\text{pD}) = \frac{1}{10} u_B (\text{mm}) Add (\text{D})$$

# Intervaly ostrého vidění

Díl do dálky

$$a_{RD} \rightarrow \infty \quad a_{PD} = -\frac{1}{A_{\check{S}}}$$

Díl do blízka

$$a_{RB} = -\frac{1}{Add} \quad a_{PB} = -\frac{1}{Add+A_{\check{S}}}$$

Interval bez ostrého vidění (mrtvá zóna) vzniká, pokud:

$$a_{PD} < a_{RB}, \text{ tj. } -\frac{1}{A_{\check{S}}} < -\frac{1}{Add}, \text{ tj. pokud } Add > A_{\check{S}}$$

*Add < A<sub>čS</sub>* ... intervaly ostrého vidění se překrývají

*Add = A<sub>čS</sub>* ... intervaly ostrého vidění právě navazují

### Příklad 3 (bitokálmí čočka)

$$S_D^1 = +2D$$

$h = -30 \text{ cm}$  (poloha hl. prac. bodu)

$$A_S^V = 2D$$

- Navrhnete bitokálmí brýlovou čočku.
- Určete intervaly ostrého vidění (akomodační intervaly) do blízka a do dálky.

$$Add = -\frac{1}{h} - \frac{2}{3} A_S^V = -\frac{1}{-0,3} D - \frac{4}{3} D = \frac{10-4}{3} D = 2D$$

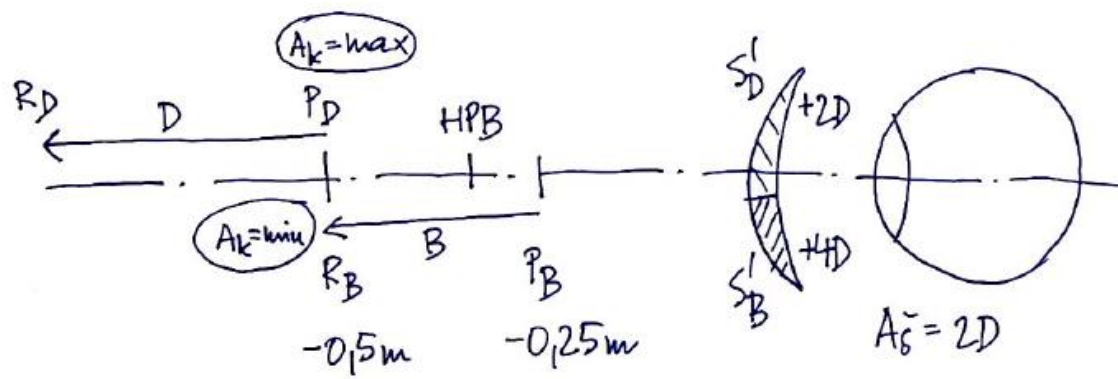
$$S_B^1 = +4D$$

$$z_{RD} \rightarrow \infty$$

$$z_{PD} = -\frac{1}{A_S^V} = -0,5 \text{ m}$$

$$z_{RB} = -\frac{1}{Add} = -0,5 \text{ m}$$

$$z_{PB} = -\frac{1}{Add + A_S^V} = -0,25 \text{ m}$$



## Příklad 4 (trifokální čočka)

$$S_D^I = +2D$$

$h = -30 \text{ cm}$  (HPB)

$$A_S^V = 2D$$

- Navrhujete trifokální brýlovou čočku
- určete intervaly oštěrého vidění pro každý díl brýlové čočky

$$\text{Add} = -\frac{1}{h} - \frac{2}{3} A_S^V = 2D$$

$$\text{Add}_M = \text{Add}/2 = 1D$$

$$S_B^I = +4D \quad (\text{díl do blízka})$$

$$S_M^I = +3D \quad (\text{mezidíl})$$

$$z_{RD} \rightarrow \infty$$

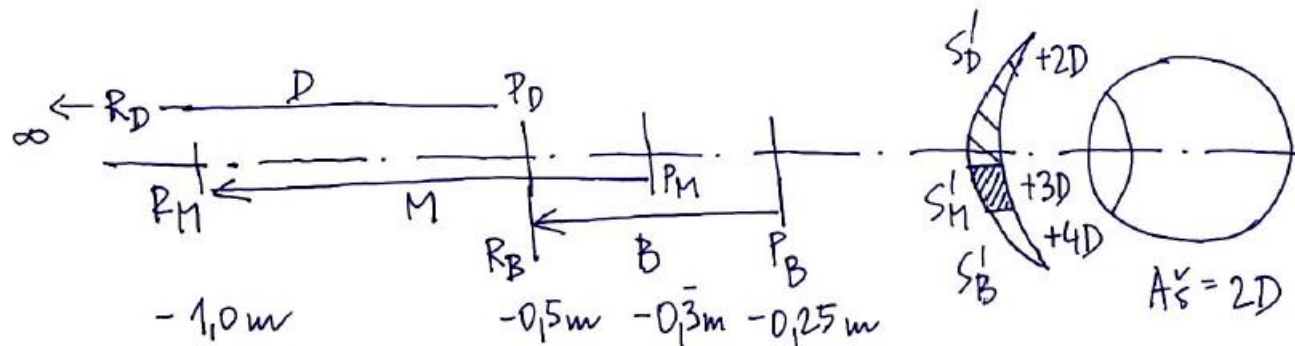
$$z_{PD} = -\frac{1}{A_S^V} = -0,5 \text{ m}$$

$$z_{RB} = -\frac{1}{\text{Add}} = -0,5 \text{ m}$$

$$z_{PB} = -\frac{1}{\text{Add} + A_S^V} = -0,25 \text{ m}$$

$$z_{RM} = -\frac{1}{\text{Add}_M} = -1 \text{ m}$$

$$z_{PM} = -\frac{1}{\text{Add}_M + A_S^V} = -0,33 \text{ m}$$



### Příklad 5

Navrhnete bifokální čočku a určete intervaly ostrého vidění.

$$S_D' = +1 \text{ D} \quad h = -25 \text{ cm} \quad A_S' = 1 \text{ D}$$

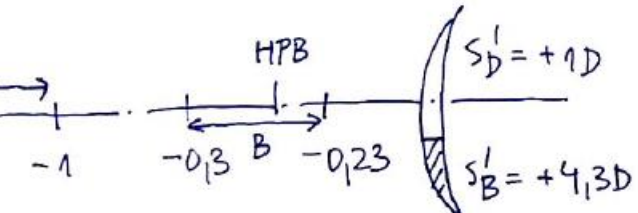
$$\text{Add} = -\frac{1}{h} - \frac{2}{3} A_S' = 4 \text{ D} - \frac{2}{3} \text{ D} = 3,3 \text{ D} \quad S_B' = S_D' + \text{Add} = 4,3 \text{ D}$$

$$z_{RD} \rightarrow \infty$$

$$z_{PD} = -\frac{1}{A_S'} = -1 \text{ m}$$

$$z_{RB} = -\frac{1}{\text{Add}} = -0,3 \text{ m}$$

$$z_{PB} = \frac{-1}{\text{Add} + A_S'} = -0,123 \text{ m}$$



### Příklad 6

Navrhnete trifokální čočku a určete intervaly ostrého vidění

$$S_D' = +1 \text{ D} \quad h_1 = -0,75 \text{ m} \quad h_2 = -0,25 \text{ m} \quad A_S' = 1 \text{ D} \quad (2 \text{ hlavní prac. body})$$

$$\text{Add}_1 = 0,67 \text{ D}$$

$$\text{Add}_2 = 3,33 \text{ D}$$

$$z_{RD} \rightarrow \infty$$

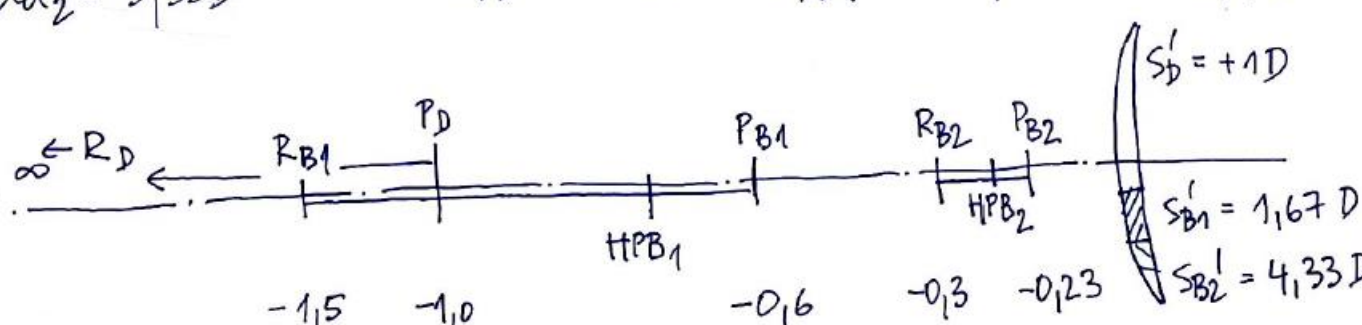
$$z_{PD} = -1 \text{ m}$$

$$z_{RB1} = -1,5 \text{ m}$$

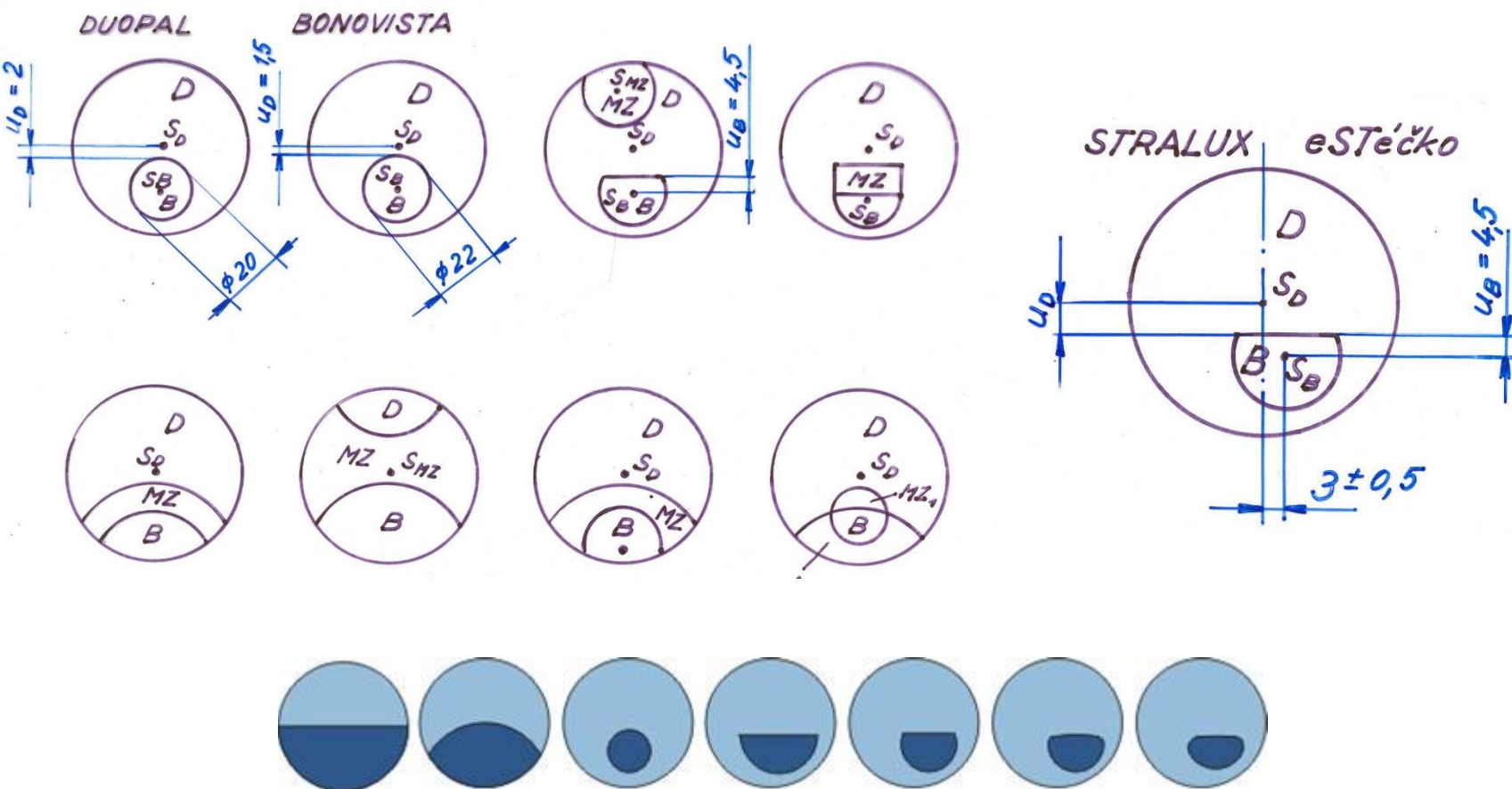
$$z_{PB1} = -0,6 \text{ m}$$

$$z_{RB2} = -0,3 \text{ m}$$

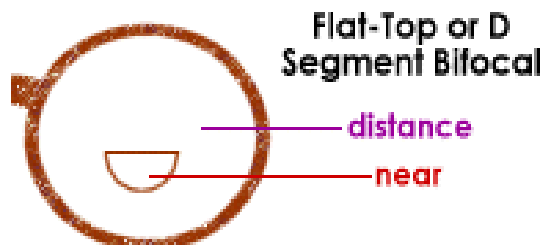
$$z_{PB2} = -0,23 \text{ m}$$



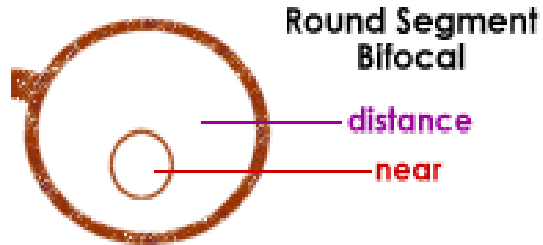
# Provedení bifokálních čoček



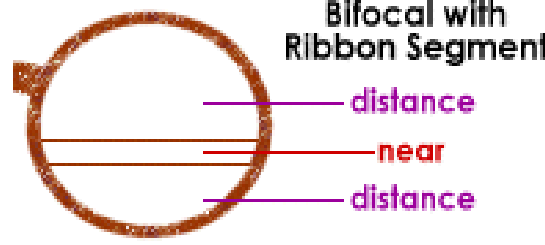
# Další příklady provedení bifokálních čoček



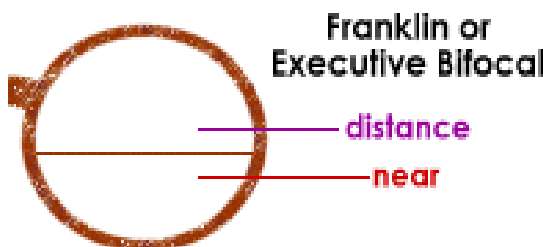
Flat-Top or D Segment Bifocal



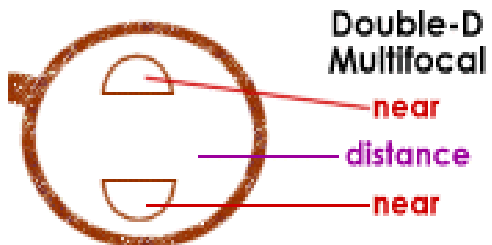
Round Segment Bifocal



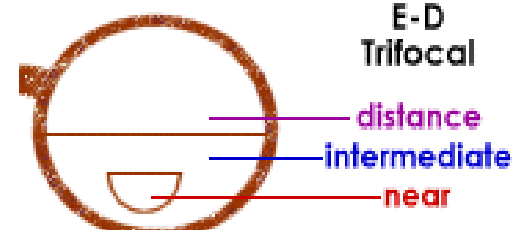
Bifocal with Ribbon Segment



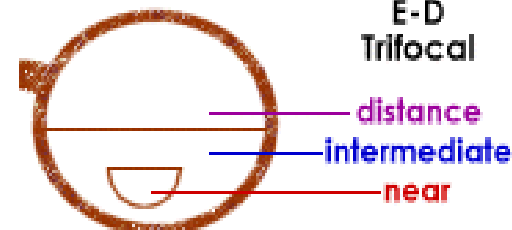
Franklin or Executive Bifocal



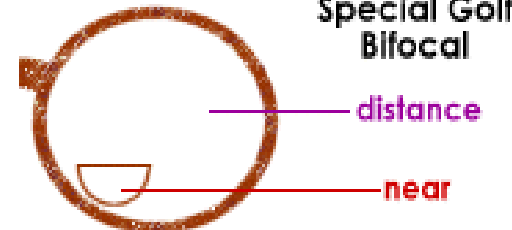
Double-D Multifocal



E-D Trifocal

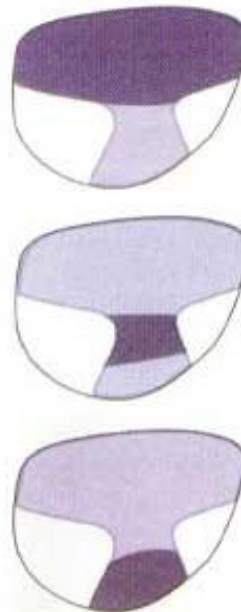
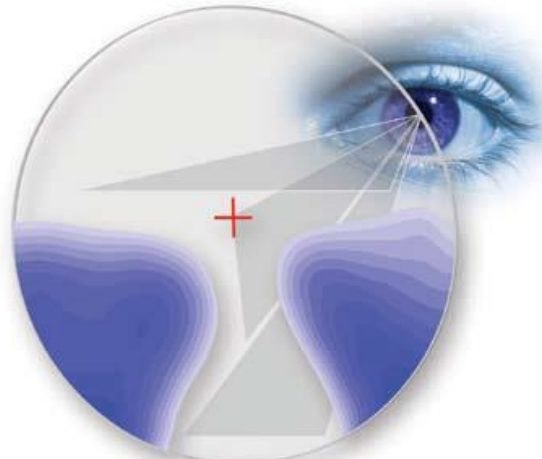


E-D Trifocal



Special Golf Bifocal

# Progresivní čočky



zorné pole do dálky  
od 5 m dál

progresivní kanál -  
zorné pole na pracovní  
vzdálenost 40 cm - 5 m

zorné pole do blízka  
do 40 cm

Mohutnost progresivní čočky (čočky s progresivní adicí, PAL) roste postupně, mezi oblastí pro vidění do dálky (horní část) a do blízka (dolní část). Tyto části jsou propojeny tzv. progresivním kanálem.

- + Čočky mají vzhled monofokálních, esteticky jsou na vysoké úrovni, není žádný viditelný předěl segmentů, skok obrazu, ani skoková změna akomodace jako u bifokálních čoček.
- Oblasti s významnou hodnotou astigmatismu, obtížnější adaptace („obraz tancuje“) po špatně předvídatelnou dobu, úzká oblast do blízka ve srovnání s bifokálními čočkami, cena.

(Další části prezentace připraveny dle textu Mo Jalie: Progressive lenses, Part 1, Continuing Education and Training)

# Progresivní vs. trifokální čočky

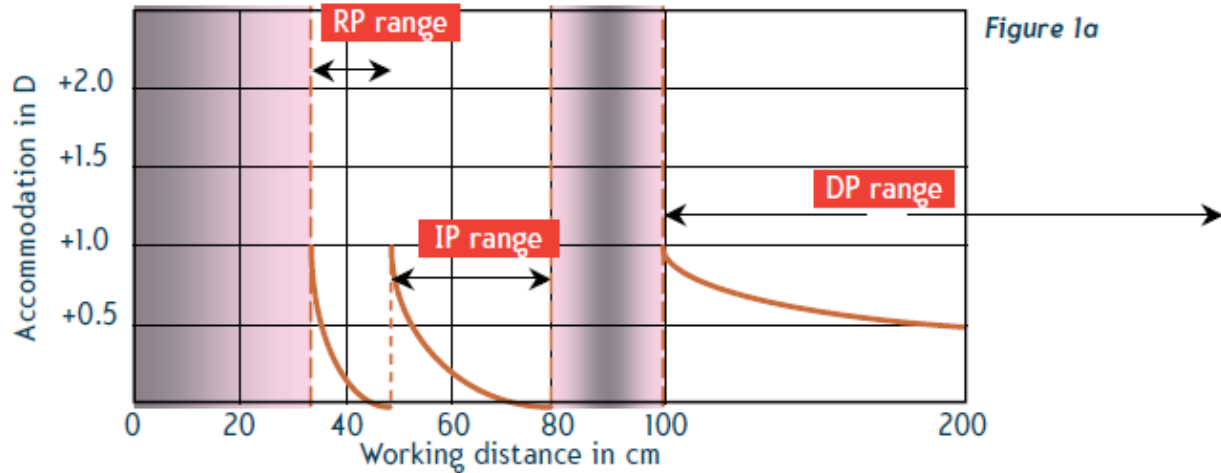


Figure 1a

trifokální čočka

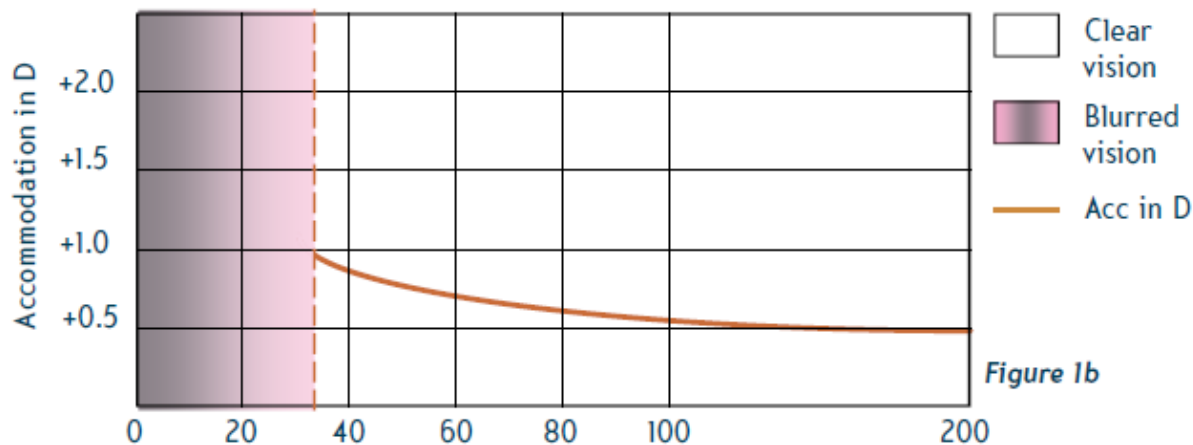
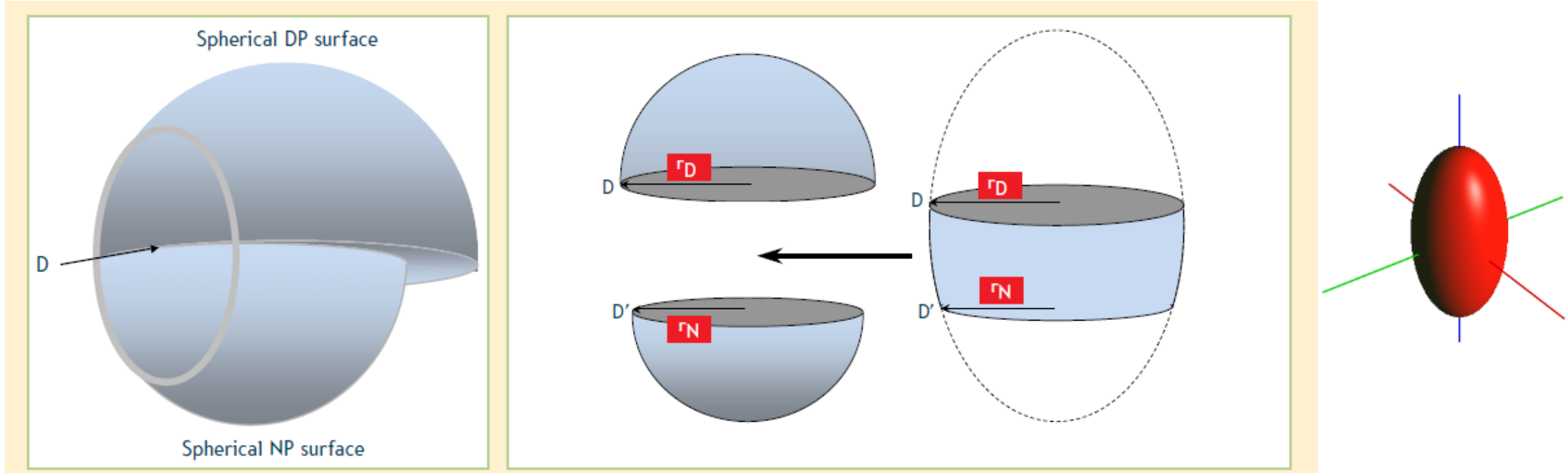


Figure 1b

progresivní čočka

Průběh akomodace oka při změně pracovní vzdálenosti s trifokální čočkou (skokové změny) a progresivní čočkou (plynulá změna). Fialově jsou vyznačeny oblasti bez možnosti ostrého vidění.

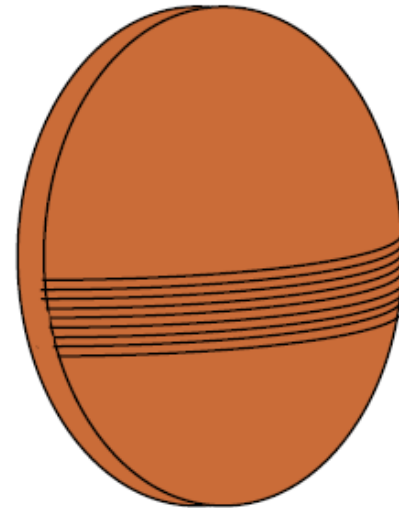
# Princip designu progresivní čočky



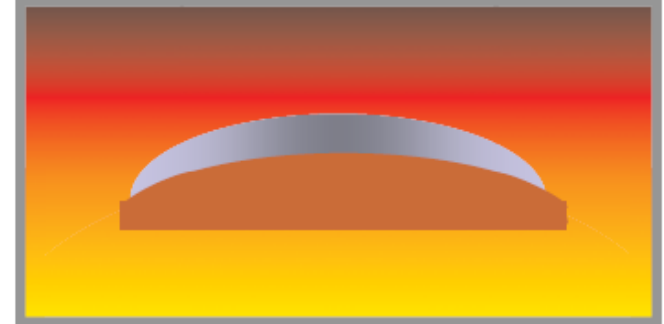
Bifokální čočka (vlevo) může vzniknout složením dvou sférických předních ploch – větší poloměr křivosti  $r_D$  horní části odpovídá menší mohutnosti a představuje díl do dálky, menší poloměr křivosti  $r_N$  odpovídá vyšší mohutnosti dolního dílu do blízka.

Nejjednodušší progresivní čočku (vpravo) z ní vytvoříme tak, že horní a dolní sférický díl propojíme plochou, jejíž poloměr křivosti se spojite mění od  $r_D$  do  $r_N$ . Může jít třeba o povrch rotačního elipsoidu (sféroidu).

# Výroba progresivní čočky



a) Ceramic mould

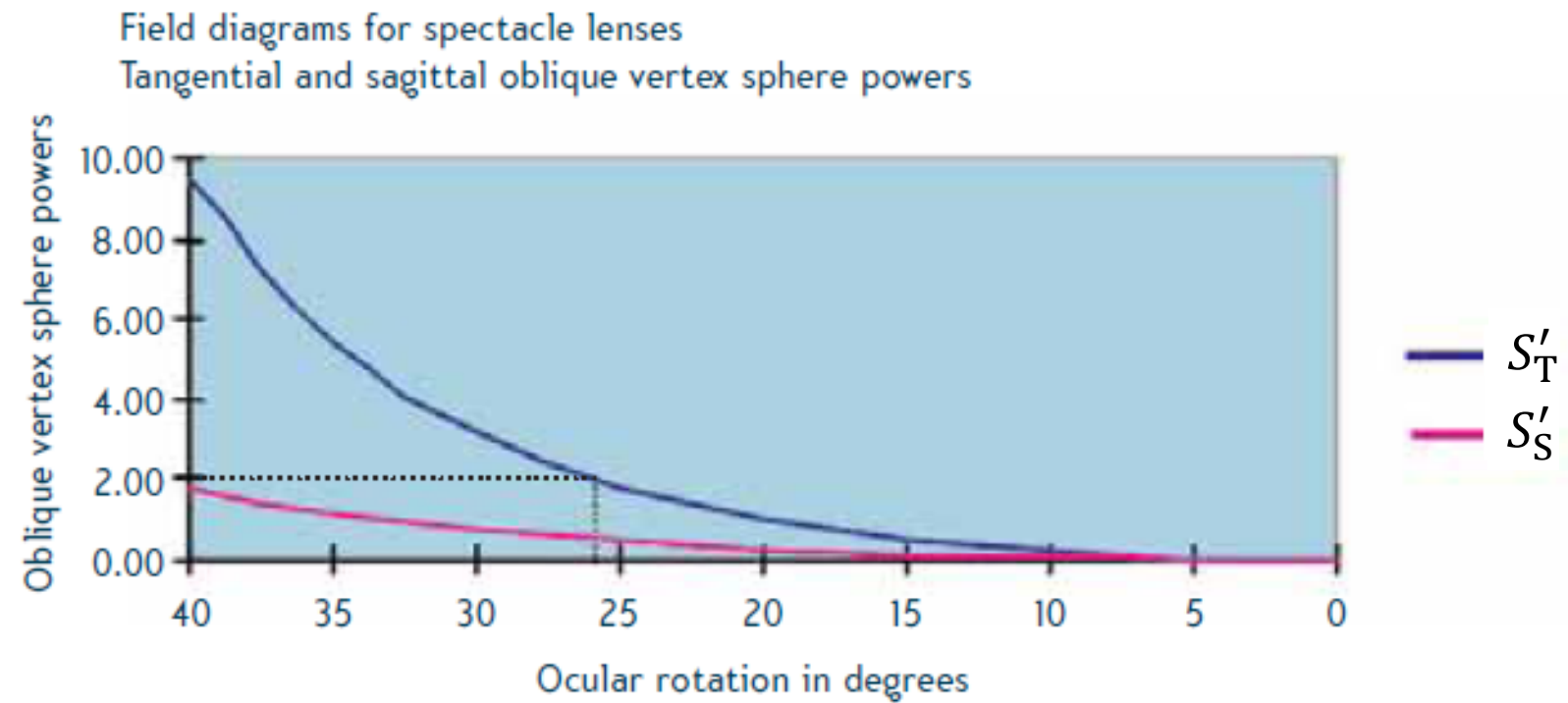
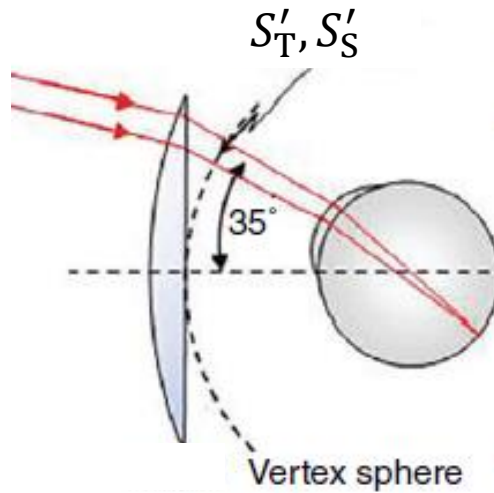


b) Slumping a glass blank (forming)

Možnost tvarování povrchu progresivní čočky, a tím vytváření příznivého průběhu astigmatismu je dán technologickými možnostmi.

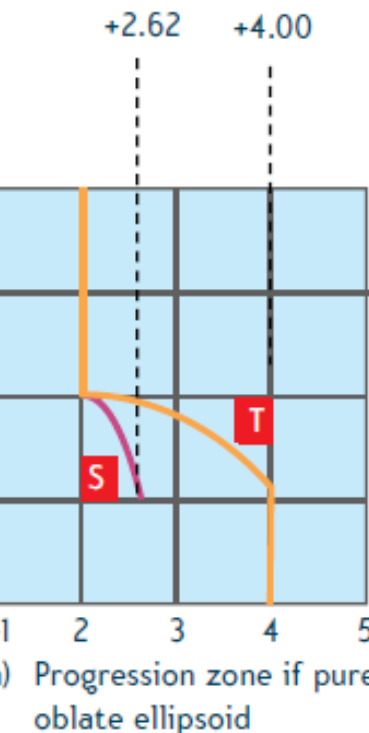
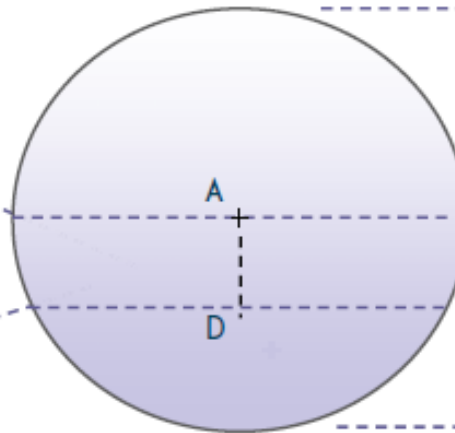
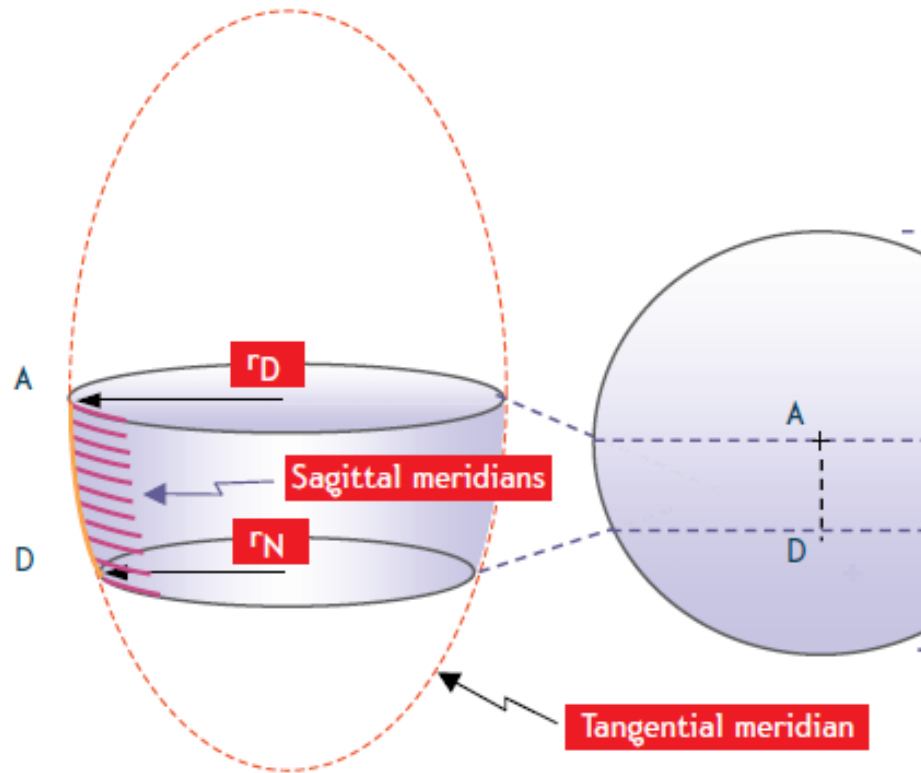
- Důležitá je technologie CNC broušení a leštění (FFT, vlevo CNC stroj Schneider).
- Jiným postupem je „slumping“ (stékání, vpravo): konvexní, původně sférická čočka je umístěna na keramickou formu požadovaného tvaru a za vysoké teploty se formě tvarově přizpůsobí

# Progresivní čočka s využitím rotačního elipsoidu

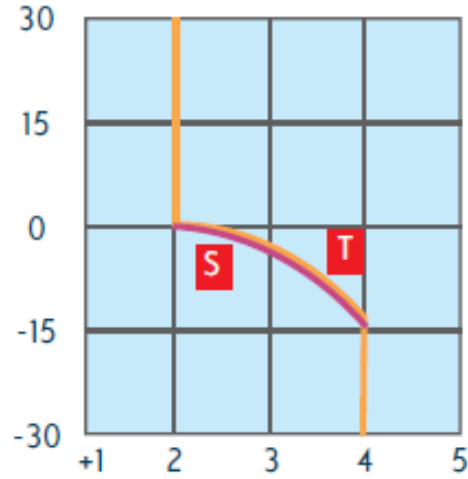


Příklad astigmatismu lomeného svazku, který vzniká v segmentu s progresivní adicí, který je tvořen rotačním elipsoidem (navrženo pro adici 2,00 D při 25°). Je zřejmé, že pro rotaci oka 25° (cca 14 mm pod vrcholem čočky) je tangenciální lámovost na vertex sféře 2,00 D, jak je požadováno, avšak sagitální je o cca 1,50 D menší (to je také velikost astigmatismu svazku přicházejícího z nekonečna po průchodu čočkou v tomto místě).  
Je třeba navrhnut plochu s **větší sagitální křivostí**.

# Zvětšení sagitální křivosti



a) Progression zone if pure oblate ellipsoid

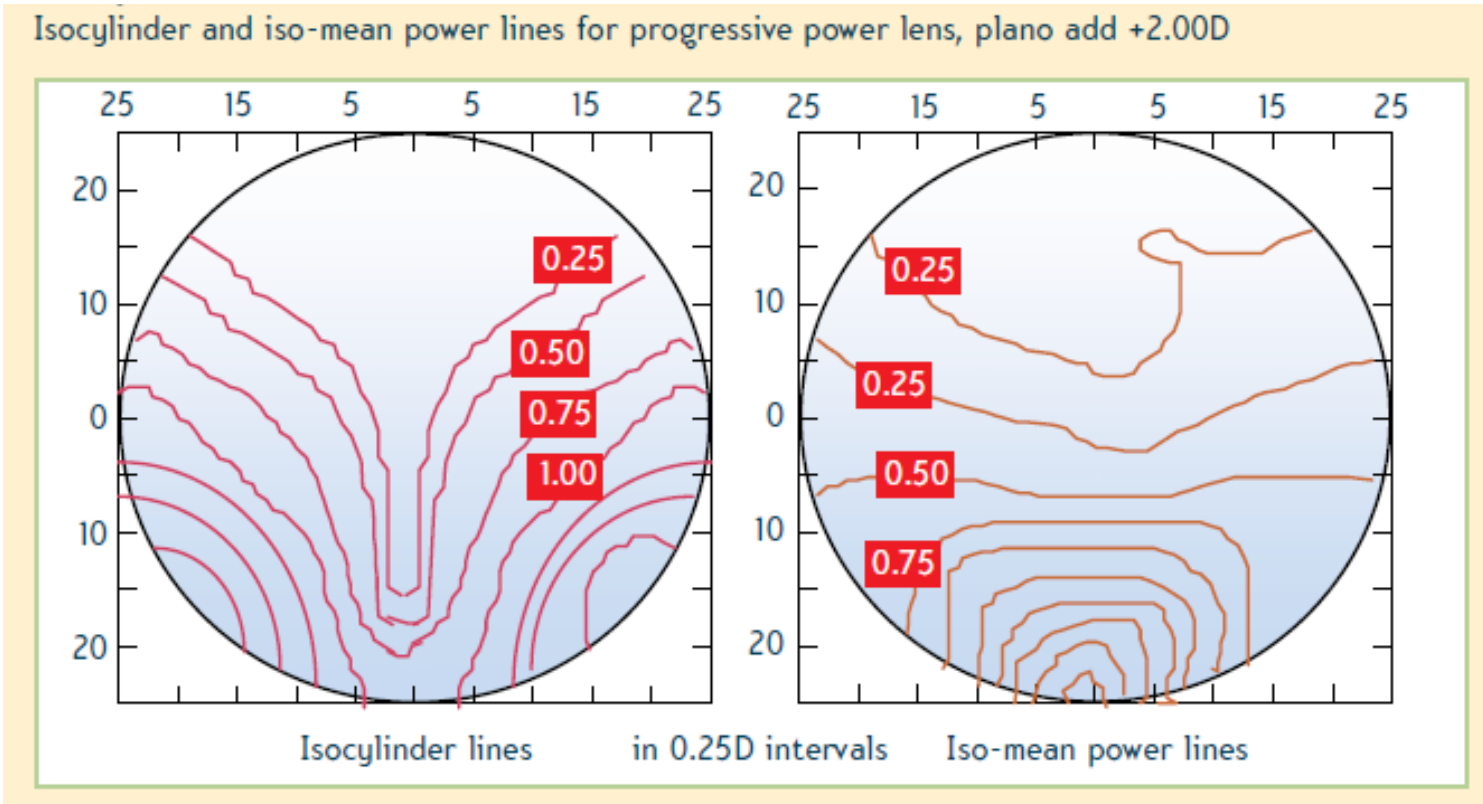


b) Progression zone with modified sagittal radii to reduce astigmatism

Povrch rotačního elipsoidu má nevhodnou křivost v sagitálním řezu, a proto přechodová část trpí silným astigmatismem a). Tvar přechodové části je možno změnit a zvýšit sagitální křivosti podél tangenciálního řezu tak, aby byl redukován astigmatismus b).

To lze jen podél tangenciálního meridiánu, v úzké oblasti, která tvoří tzv. **progresivní kanál**.

# Isolinie, izočáry



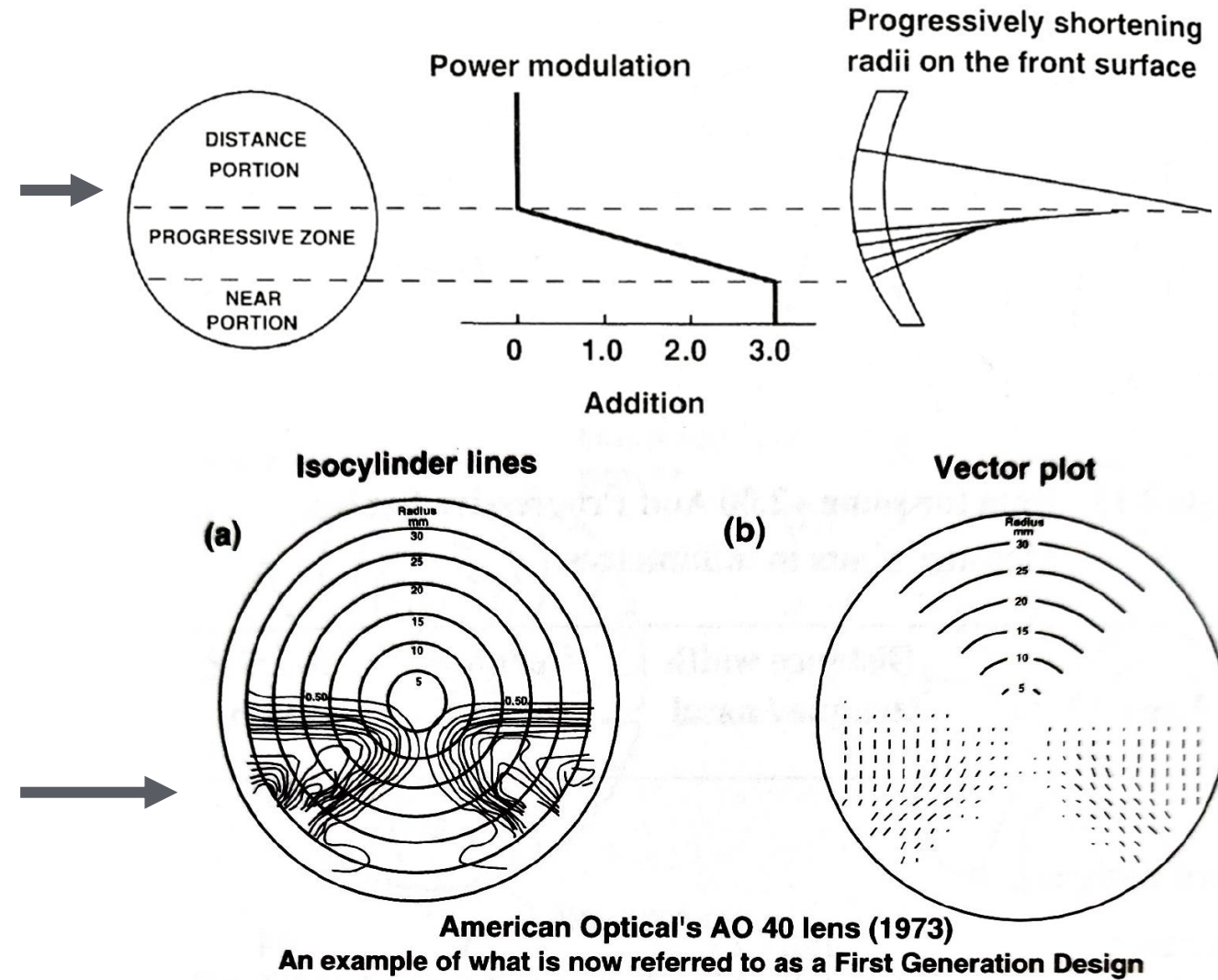
Vlastnosti progresivní čočky lze charakterizovat dvěma diagramy:

- „isocylinder lines“ (vlevo) jsou pomyslné čáry spojující na povrchu čočky místa se stejným astigmatismem; za progresivní kanál se považuje oblast s astigmatismem pod 1 D
- „iso-mean power lines“ (vpravo) jsou čáry stejné střední lámavosti

# První generace progresivních čoček

1959

První komerčně úspěšné čočky (**Varilux 1** firmy Essel) byly skleněné, měly sférické části do dálky a do blízka a spojovala je oblast vzniklá tak, že CNC nůž opisoval horizontální kružnice, jejichž poloměr se postupně měnil mezi poloměrem křivosti horní a dolní části. Díl do dálky byl prakticky bez astigmatismu. Jde o tzv. „hard“ design (rychlý nárůst astigmatismu), který mají například také čočky **AO 40** (American Optical, 1973).

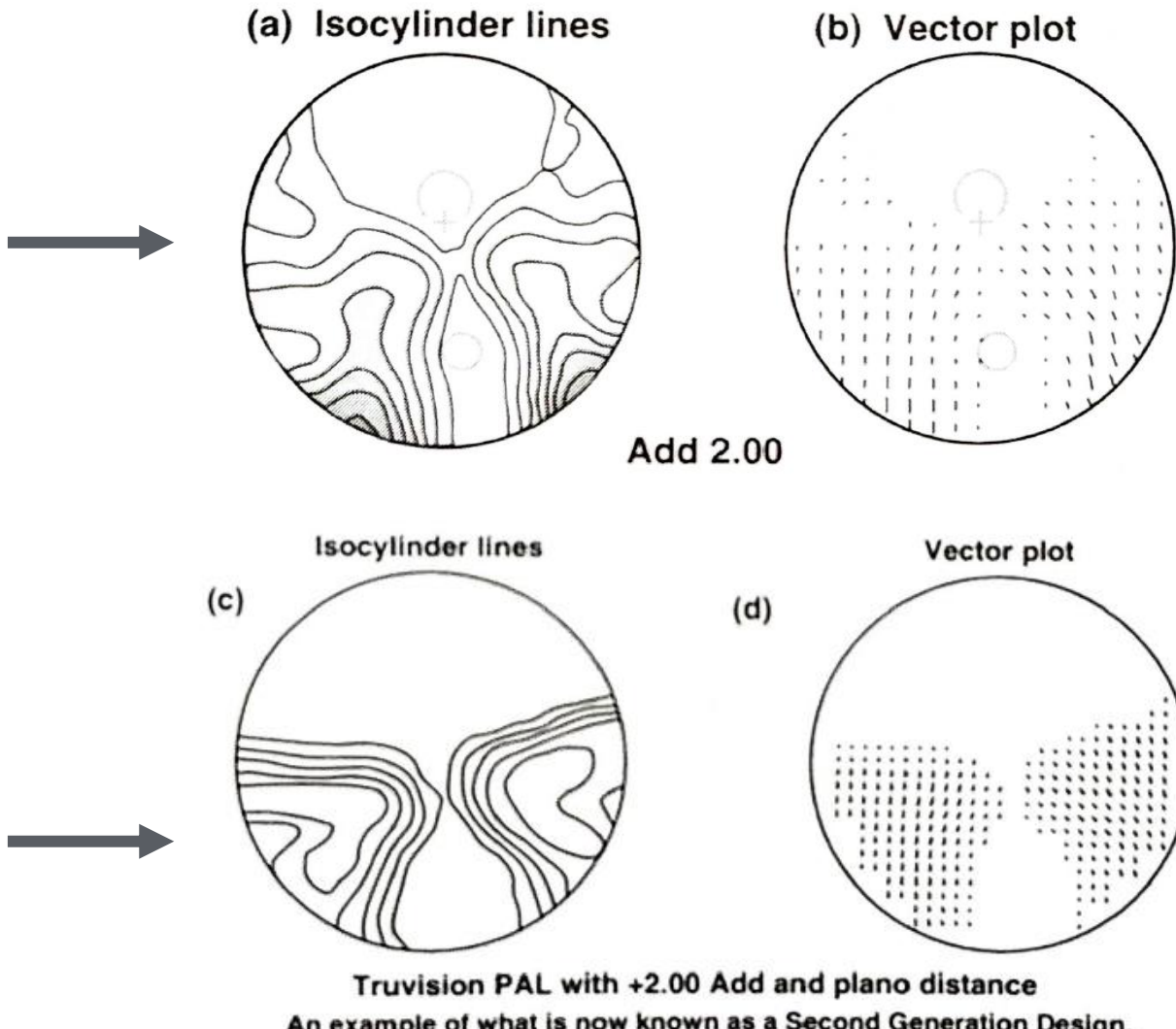


# Druhá generace progresivních čoček

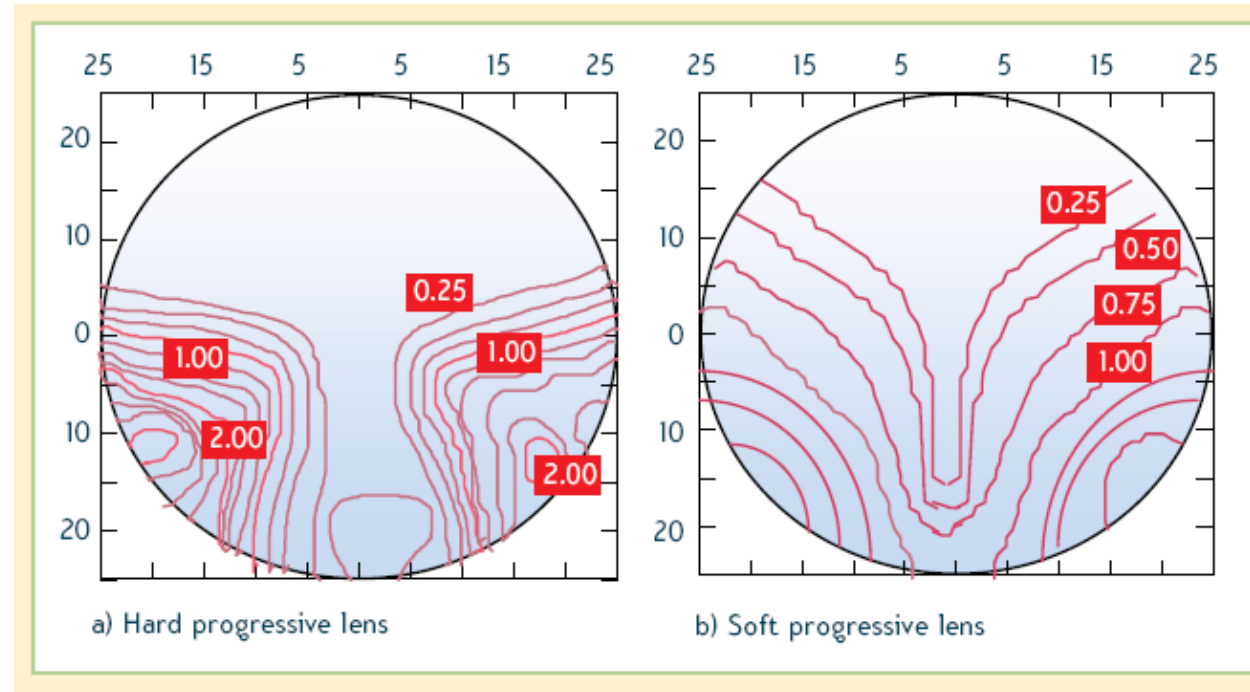
1973

Čočky **Varilux 2** (nyní známé jen jako **Varilux**) byly založeny na myšlence rozšířit astigmatismus i do dílu pro vidění do dálky, tím zředit isocylindrické linie, a tak snížit hodnotu i rychlosť růstu astigmatismu v aberovaných oblastech, tzv. „soft“ design. Členy do dálky a do blízka jsou asférické a pro jejich propojení je využita série kónických řezů s proměnnou asféricitou.

Podobně čočky **Truvision**.



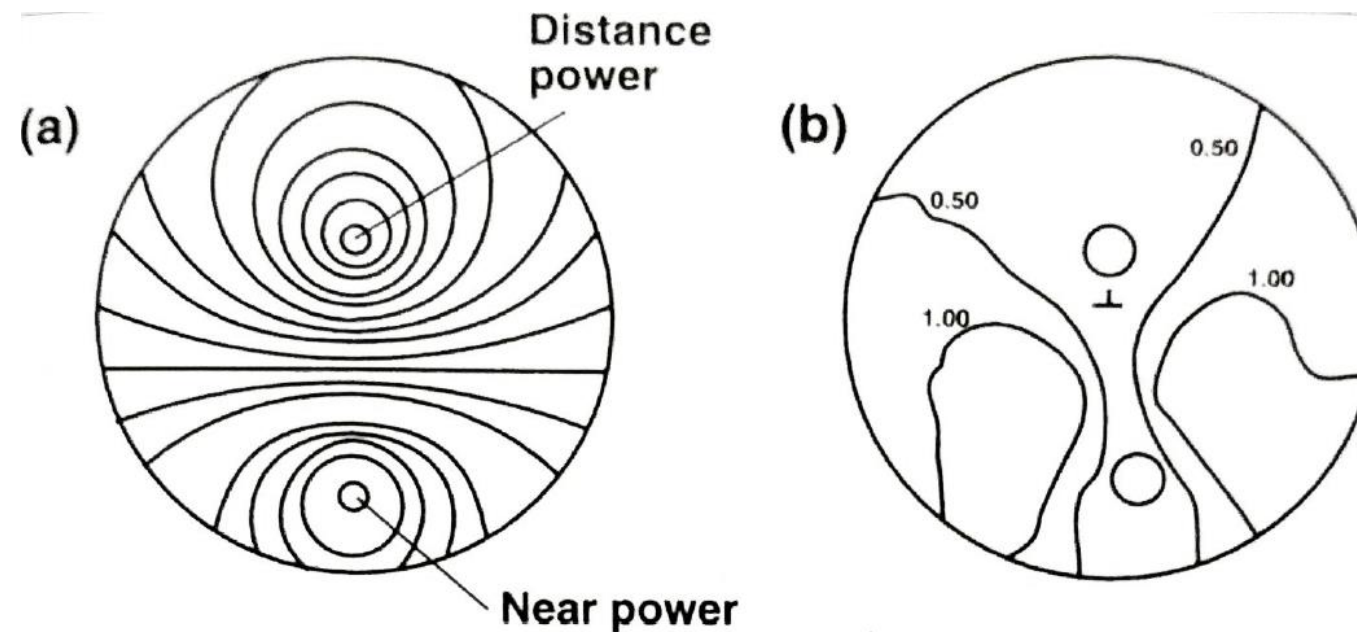
# Hard a Soft design progresivních čoček



- **HARD design:** pokud designér zamýšlí získat velkou část pro vidění do dálky a vyšší hodnoty astigmatismu omezit pouze na dolní část čočky (odpovídá starší generaci čoček), je výsledkem tzv. „hard design“ (na obrázku vlevo); tyto čočky mívají úzký koridor, rychlý přírůstek astigmatismu v aberovaných zónách a poměrně širokou část do blízka
- **SOFT design:** (vpravo) má malý nenulový astigmatismus i v okrajových částech dílu do dálky, tím se sníží jeho velikost i spád v dolní části čočky, rozšíří se koridor, část do blízka je relativně úzká – úspěšný design zejména pro nižší adice, urychluje adaptaci klienta na progresivní čočky

# Bipolární design (třetí generace)

Design třetí generace využívá „bipolární princip“. Minimum, resp. maximum hodnoty lámavosti do dálky, resp. do blízka jsou soustředěny v malých kruhových oblastech, „pólech“, obklopených soustředně liniemi stejné lámavosti. Jde například o čočky **Truvision OMNI**. Přechodová oblast opět více zasahuje do části do dálky, tj. fakticky je přechodová oblast prodloužena. Tím je dále „změkčeno“ vymezení oblasti do dálky, a současně je významně snížen astigmatismus stranových částí čočky. Patří mezi soft design čočky.

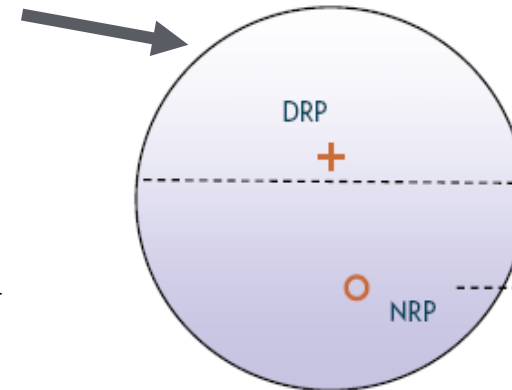


Truvision OMNI, +2.00 D Add

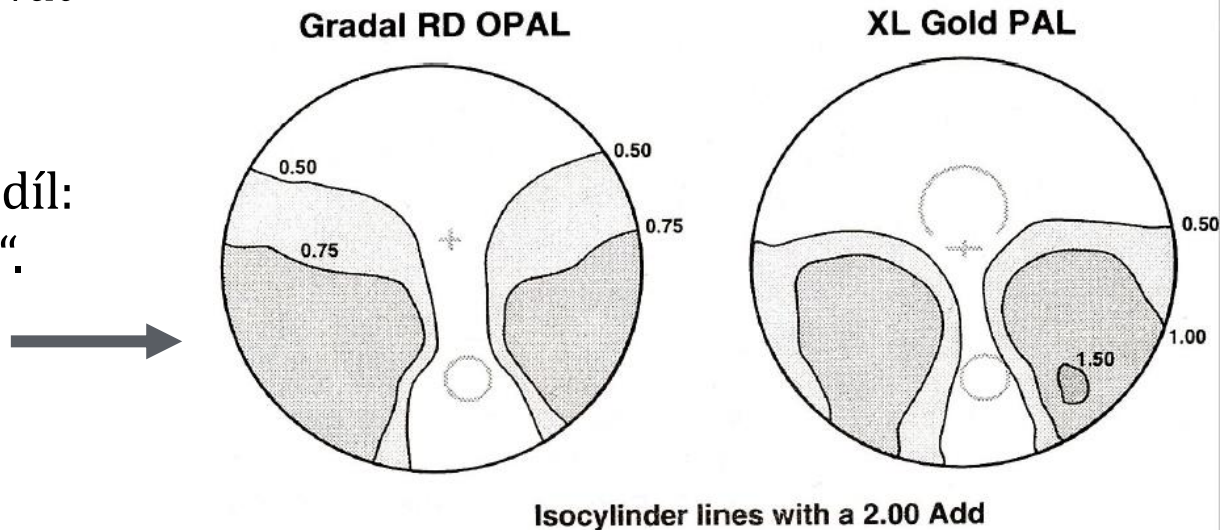
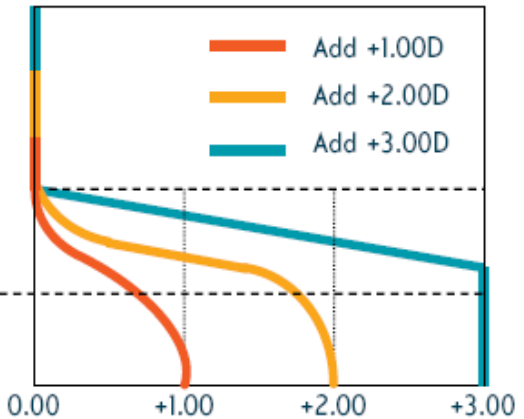
# Moderní progresivní čočky

Poslední generace využívá různých průběhů změny mohutnosti a různých designů pro různé hodnoty adice (například soft design pro nízké adice, hard design pro vysoké adice). Využívá maximálně asférických ploch pro dosažení dobrých vlastností čoček v preferované oblasti vidění. To vede na tenčí čočky s menší křivostí a s nízkým astigmatismem. Tento design se může nazývat „ultrasoft“.

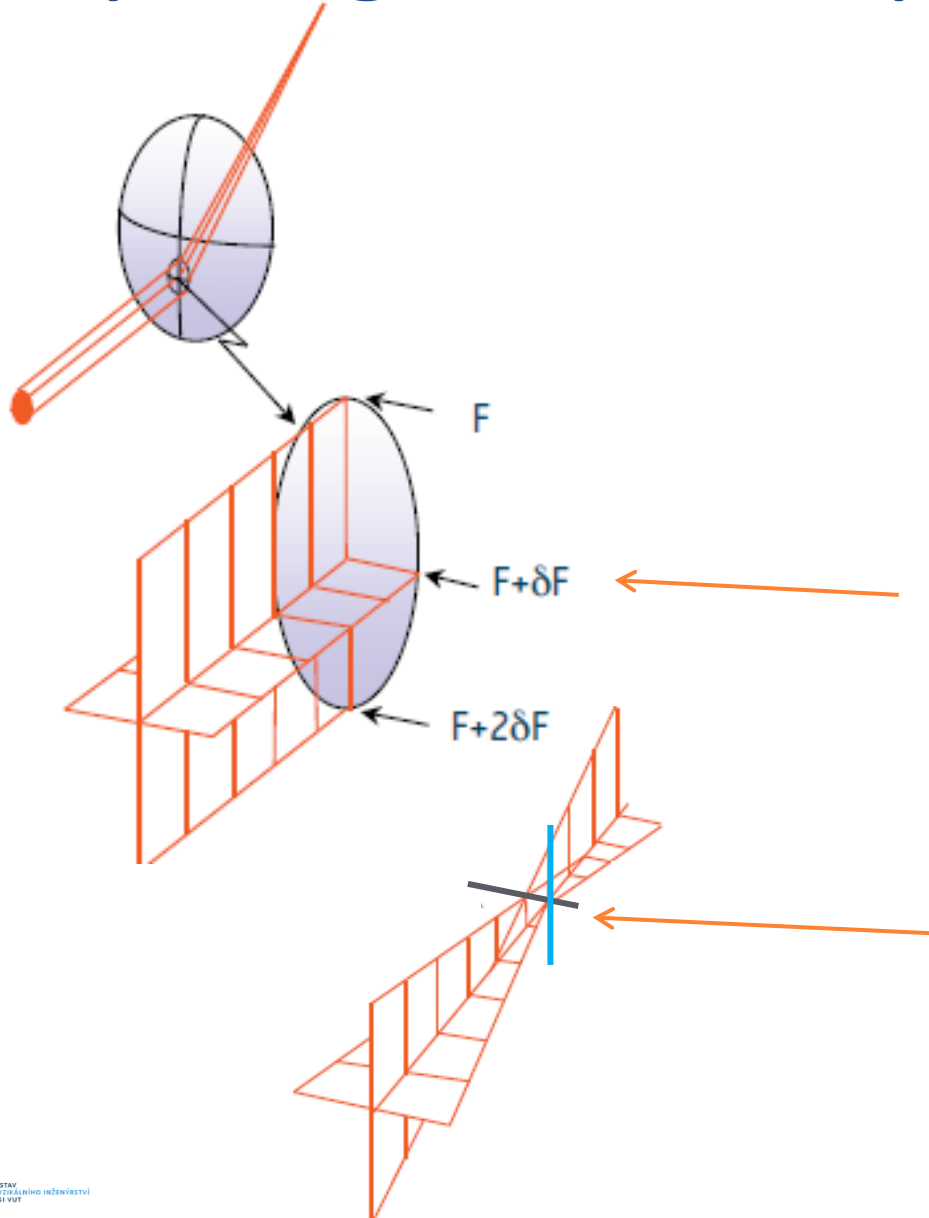
**1994, OPALs:** Zeiss a Rodenstock zavedly čočky, které mají pouze díl do blízka a mezidíl: „Occupational Progressive Addition Lenses“. Čočky mají 30 mm dlouhý koridor a jsou určeny pro vnitřní použití („pokojové vzdálenosti“: RD).



DRP = distance reference point NRP = near reference point



# Kosý astigmatismus progresivních čoček



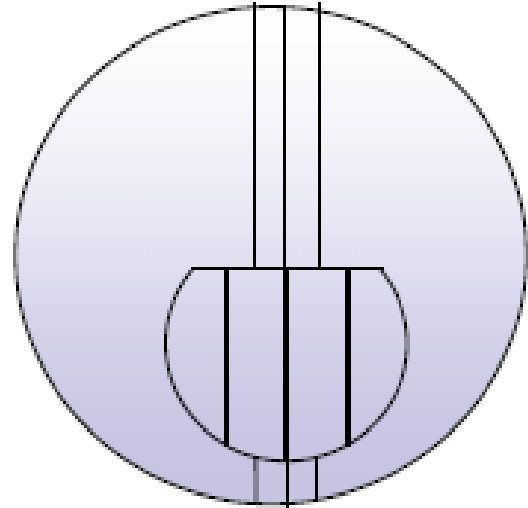
Ani optimální návrh progresivního kanálu nemůže zcela odstranit astigmatismus v této oblasti čočky. Tím, že v progresivním kanálu lámavost (v obrázku označena  $F$ ) spojité roste, vzniká tzv. „zkosený, kosý“ (skew) astigmatismus.

Svazek (vymezený pupilou oka) zde vždy prochází oblastí, která má v dolní části vyšší mohutnost ( $F+2\delta F$ ), nežli v části horní ( $F$ ).

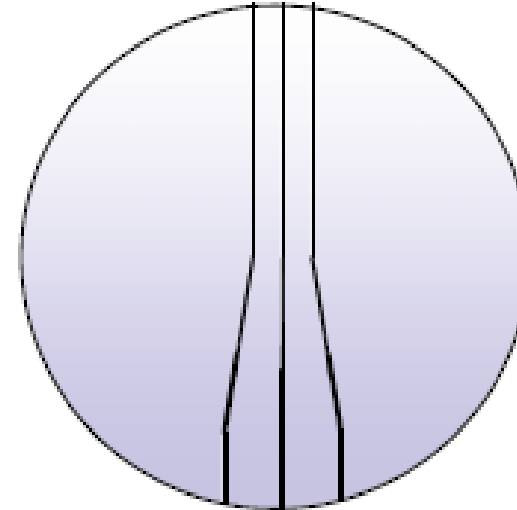
Paprsky v dolní části svazku jsou lomeny více, než paprsky v horní části. Paprsky celého svazku se proto neprotínají v jediném bodě (ohnisku), ale opět **ve dvou fokálách**.

# Distorze progresivních čoček

Skew distortion in a progressive power lens



Flat-top bifocal



Progressive power lens

S progresivně rostoucí vrcholovou lámavostí roste také zvětšení obrazu:  $F_P = 1/(1 - dS')$   
Proto u progresivních čoček vzniká distorze obrazu.